

Capitolo 12

Test del Modello Standard (scoperta del quark top e ricerca dell'Higgs a LEP e TEVATRON)

Corso di Fisica Nucleare e Subnucleare II

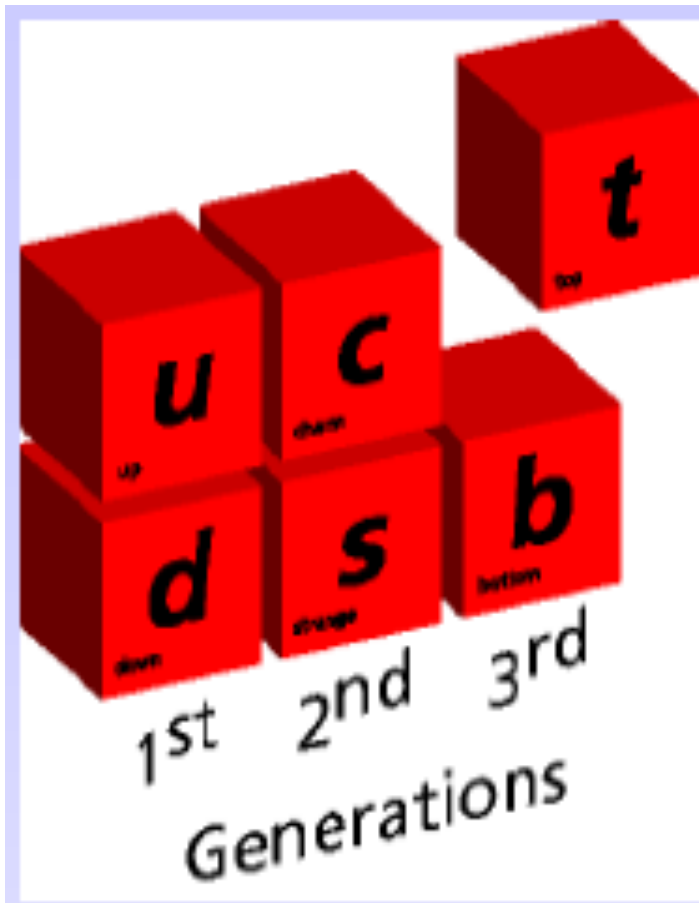
Professor Carlo Dionisi

A.A. 2012-2013

Prima Parte: quark top

Dopo la scoperta del b-quark, divenne evidente che ci doveva essere il suo partner di isospin, il quark top, per completare la terza generazione.

Dopo i fallimenti delle ricerche fatte a Slac, Desy e al CERN, dal 1990, fino al 2010 con la partenza di LHC, solo il Tevatron di Fermilab e' stato in grado di produrre il quark top con energia nel CdM da 1.8 a 1.96 TeV.



The Top Quark

leptons

$$\begin{pmatrix} e^- \\ \nu_e \end{pmatrix} \quad \begin{pmatrix} \mu^- \\ \nu_\mu \end{pmatrix} \quad \begin{pmatrix} \tau^- \\ \nu_\tau \end{pmatrix}$$

Charge

$$\begin{matrix} -1 \\ 0 \end{matrix}$$

The existence of the TOP QUARK is predicted by the Standard Model and is required to explain a number of observations:

quarks

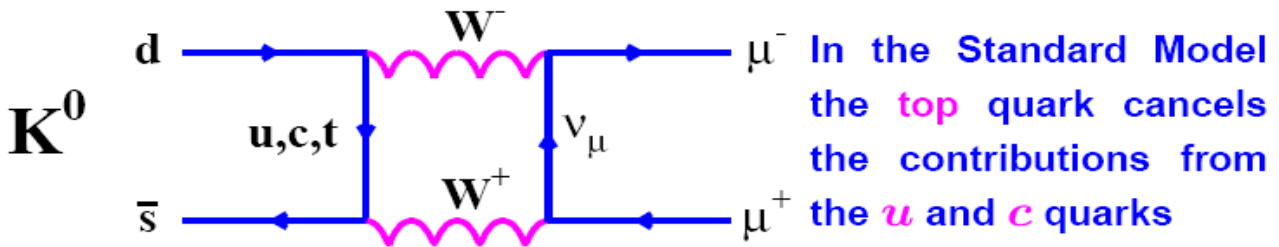
e.g. proton (uud)

$$\begin{pmatrix} u \\ d \end{pmatrix} \quad \begin{pmatrix} c \\ s \end{pmatrix} \quad \begin{pmatrix} t \\ b \end{pmatrix}$$

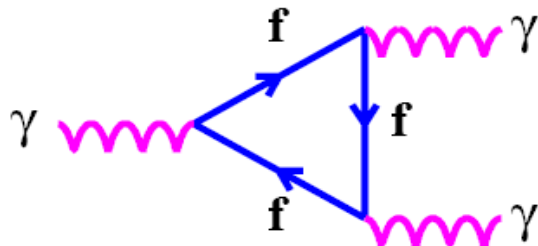
$$\begin{matrix} +\frac{2}{3} \\ -\frac{1}{3} \end{matrix}$$

+ anti-particles

Example: absence of the decay $K^0 \rightarrow \mu^+ \mu^-$



Example: Electro-magnetic anomalies



This triangle diagram leads to infinities in the theory unless

$$\sum_f Q_f = 0$$

where the sum is over all fermions (and colours)

$$\sum_f Q_f = [3 \times (-1)] + [3 \times 0] + [3 \times 3 \times \frac{2}{3}] + [3 \times 3 \times (-\frac{1}{3})] = 0$$

Rivediamo le correzioni radiative di M_W e M_t

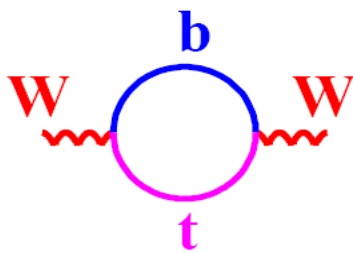
Confrontiamo il valore di $M_W(\alpha; M_Z; G_F)$ all'ordine piu' basso con le misure sperimentali.

★ PREDICT $M_W = 80.937 \text{ GeV}$

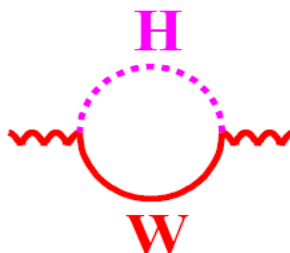
★ MEASURE $M_W = 80.426 \pm 0.034 \text{ GeV}$

→ Lowest order prediction is inconsistent with the measurement

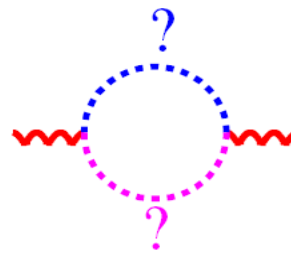
→ Need to include higher order diagrams - radiative corrections !



M_{top}^2



$\ln(m_H)$



?

$$M_W^2 \sin^2 \theta_W = \frac{\pi \alpha_{em}}{\sqrt{2} G_\mu} (1 + \Delta r)$$

$$\text{where } \Delta r = A M_{\text{top}}^2 + B \ln(m_H)$$

and where A and B are calculable constants.

By making precise measurements we are sensitive to particles which are not being produced directly - thus placing constraints on possible new particles/physics beyond the Standard Model.

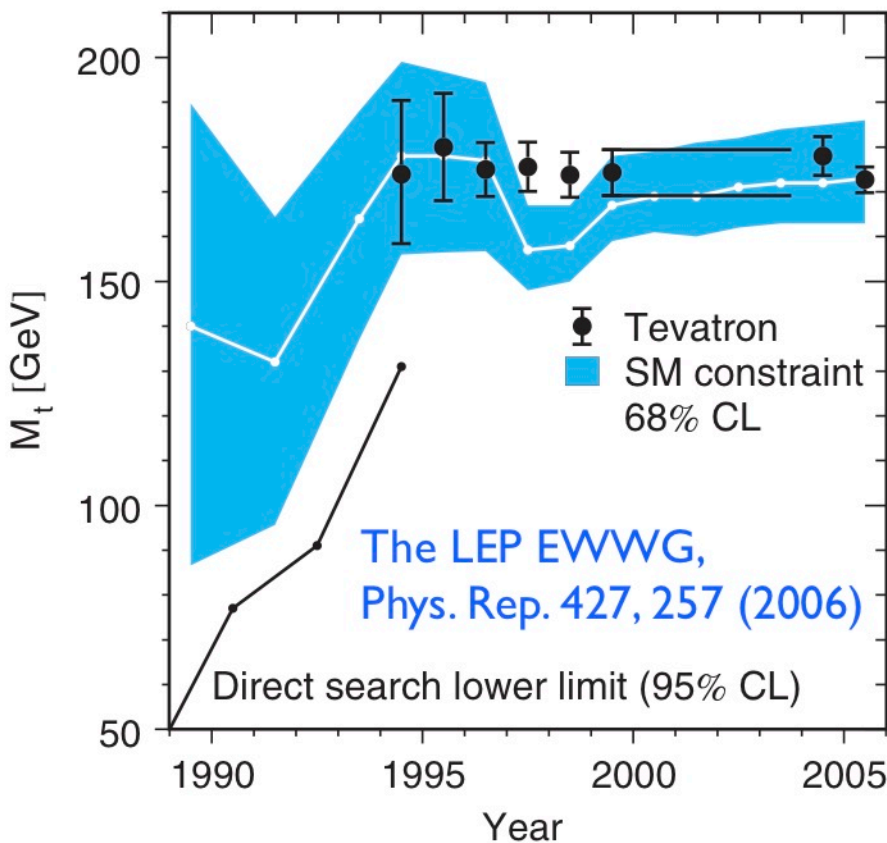
For example:

- ★ In 1994 precise measurements gave a prediction of the (then undiscovered) top-quark mass:

$$M_{top}^{\text{pred}} = 175 \pm 20 \text{ GeV}$$

- ★ Later in 1994 it was discovered:

$$M_{top} = 174.1 \pm 5.4 \text{ GeV}$$



La figura mostra l'evoluzione delle misure dirette e indirette, dal fit elettrodebole, della massa del quark top all'aumentare negli anni della precisione delle misure dei dati.

Scoperta del quark top



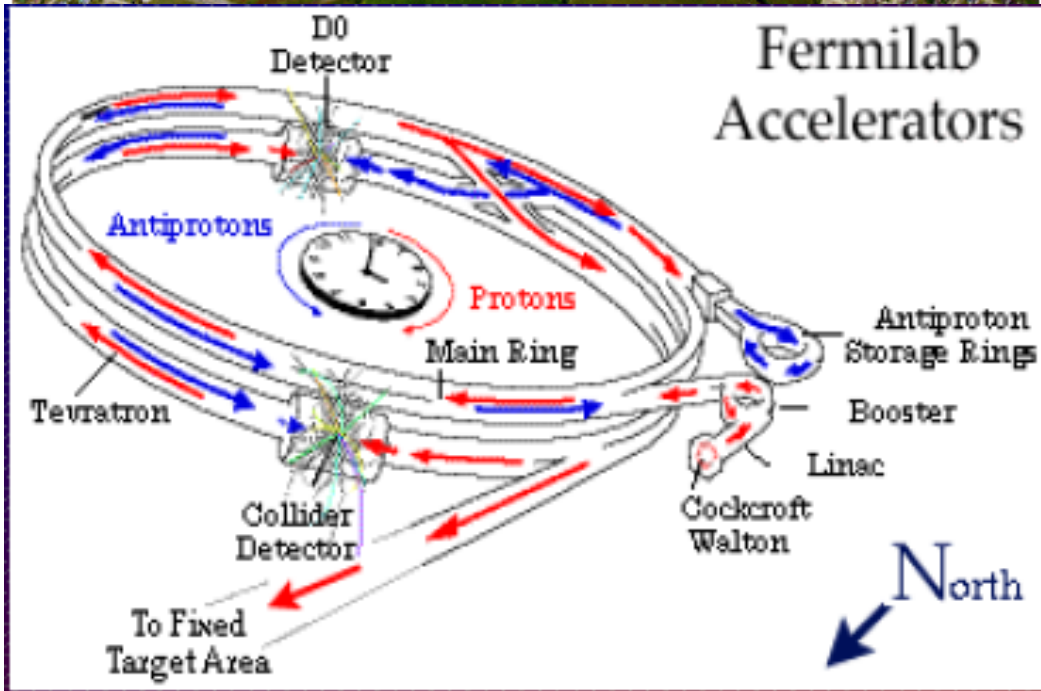
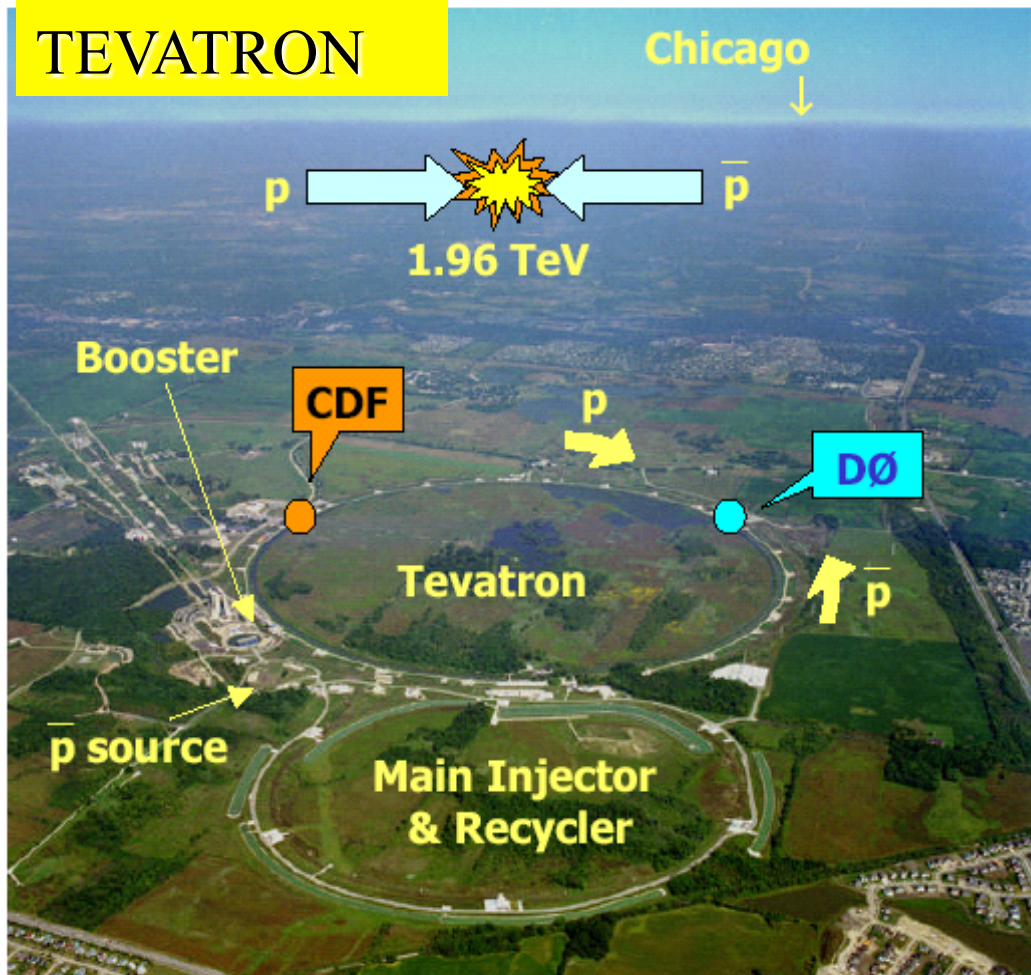
Il quark top e' stato scoperto nelle collisioni p p-bar nel rivelatore CDF al collisore Tevatron nel 1994.

Con una sezione d' urto di produzione di $\cong 5$ pb, confrontata con una sezione d' urto totale di circa 60 mb, ci aspettiamo di produrre una coppia di quark top ogni 10^{10} collisioni p p-bar.

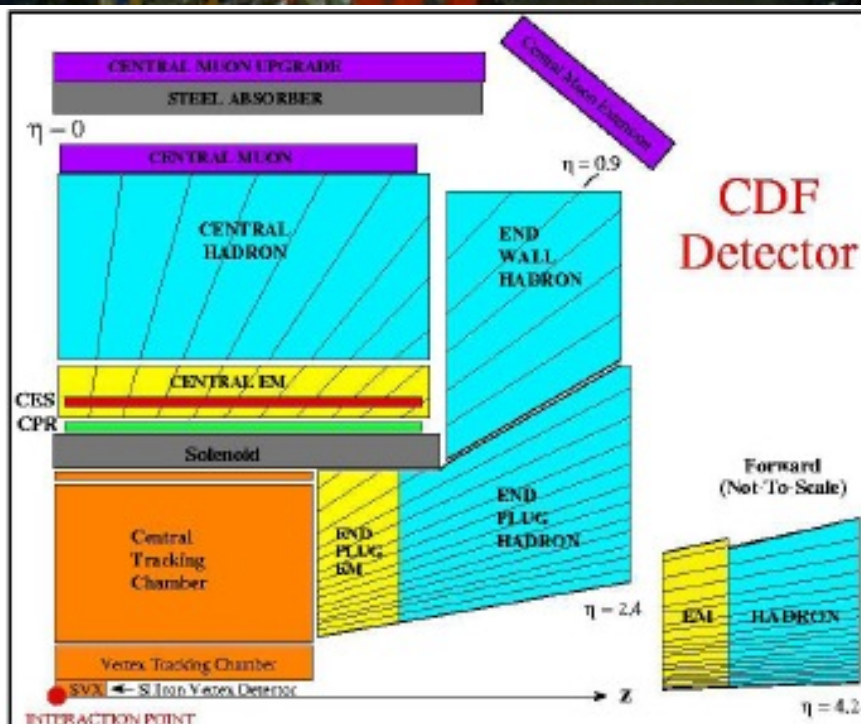
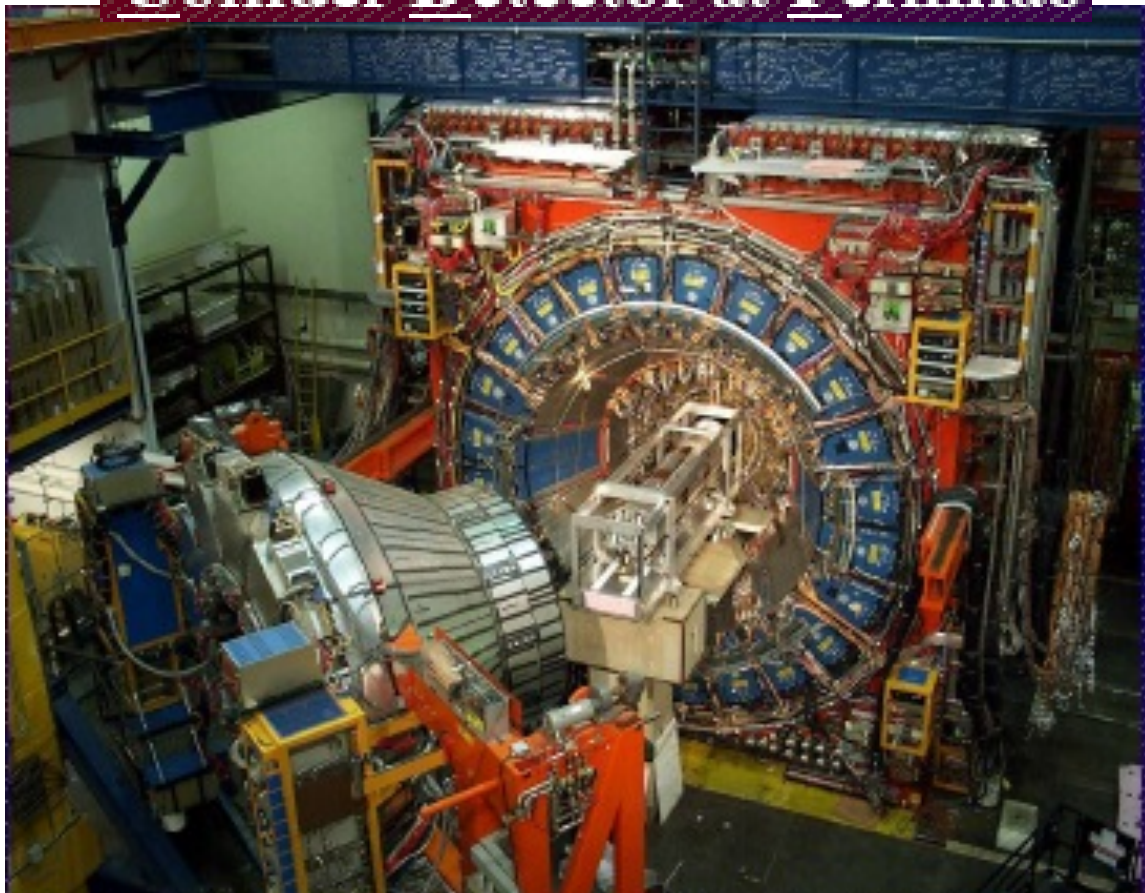
Come vedremo, con una vita media di circa 10^{-24} s il quark top decade prima di poter adronizzare e decade in uno stato finale formato da getti adonici da coppie di b-quark, mescolati o con leptoni o con getti adronici da quark leggeri.

TEVATRON

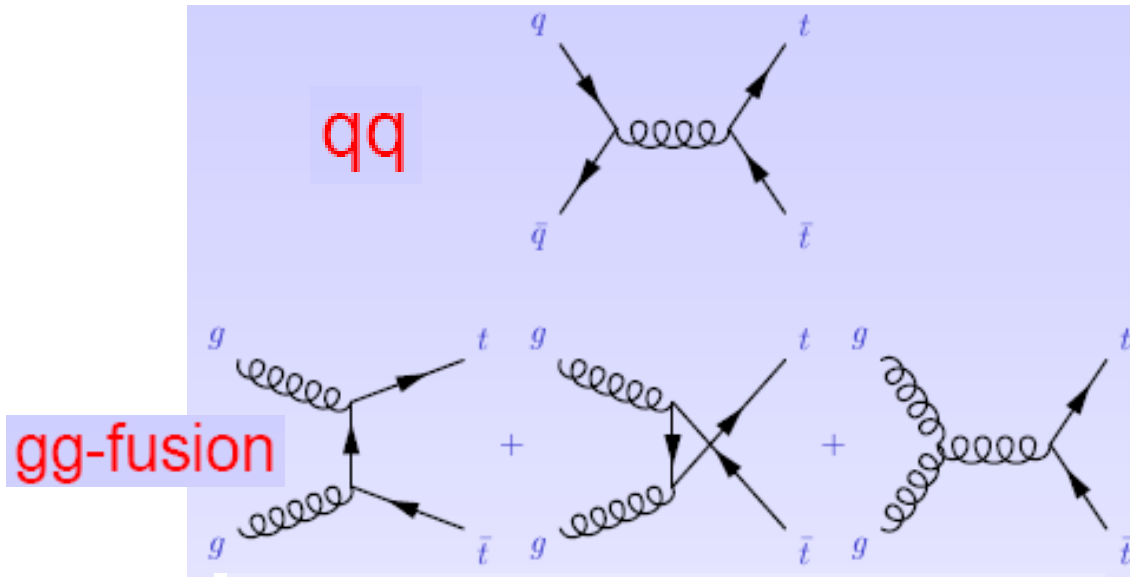
Chicago



Collider Detector at Fermilab



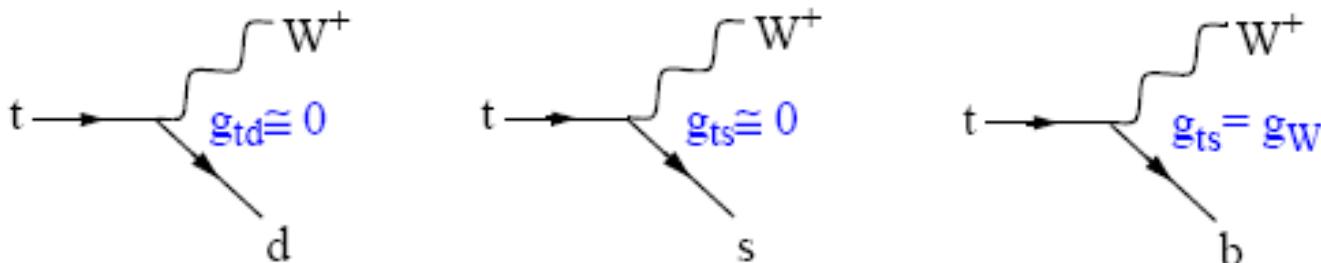
Top quark: produzione coppia (t t-bar)



	Run 1 1.8 TeV	Run II 1.96 TeV	LHC 14 TeV
qq	90%	85%	5%
gg	10%	15%	95%
σ (pb)	5 pb	7 pb	600 pb

Top quark: decadimento

◆ Il quark top, essendo piu' pesante anche del bosone W, puo' decadere solo via:



◆ Poiche' $g_{ts} \approx 0$ e' $g_{td} \approx 0$ l'unico modo di decadimento del quark top e':

$$t \rightarrow W^+ + b$$

Con una frequenza proporzionale a:

$$\alpha_W = g_W^2 / 4\pi \approx 4,2 \times 10^{-3}$$

Per formare uno stato tipo toponio serve un tempo $O(10^{-22} \text{ s})$

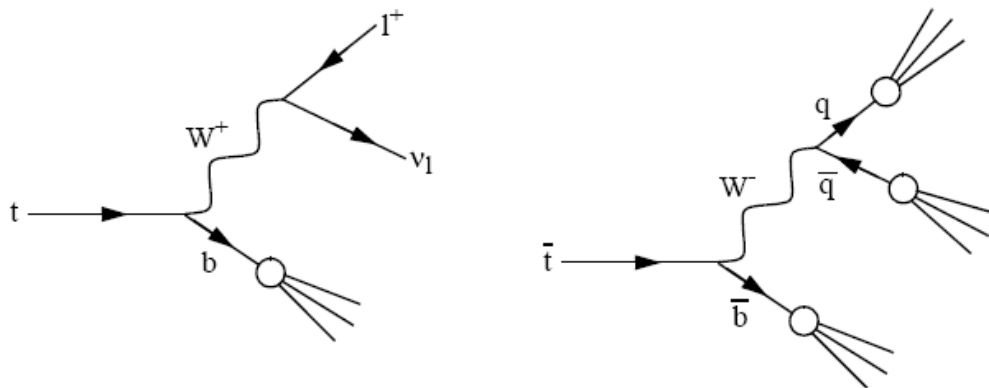
$$\Gamma \sim \alpha_W m_t \sim 1 \text{ GeV}$$

$$\tau_t \approx 4 \times 10^{-25} \text{ s}$$

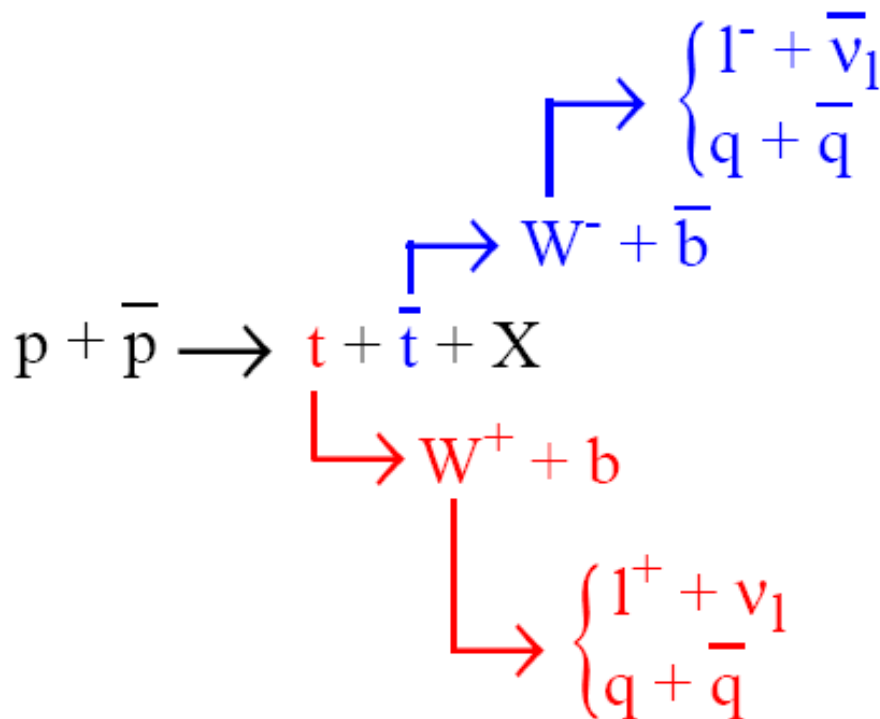
La vita media e' quindi **TROPPO CORTA** affinche' il quark top possa **ADRONIZZARE** !

Top quark: decadimento

Quindi il top decade in b-quark e W che a sua volta decade in leptoni o quark:



Lo stato finale quindi risulta formato di jet e leptoni mescolati:

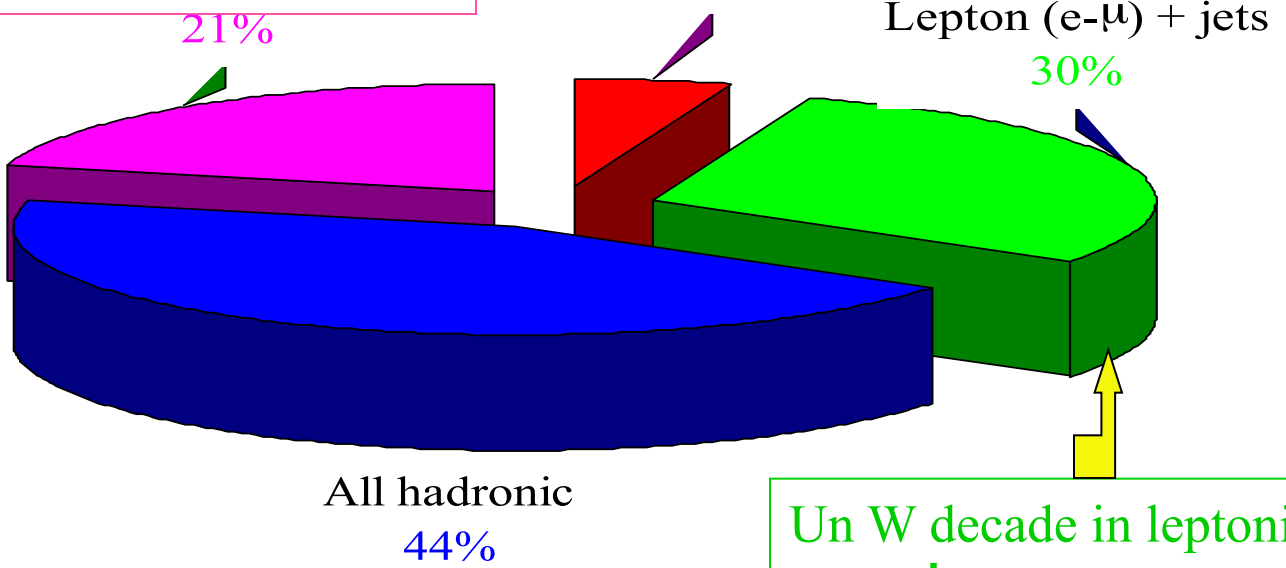


• Configurazioni per i decadimenti del top:

Entrambi i W decadono in leptoni e o m:
Easy

Uno dei W decade in τ : **very difficult**.
Channels with τ

Di-leptons (e- μ)
5%



Un W decade in leptoni e o μ e l'altro in getti:
Medium

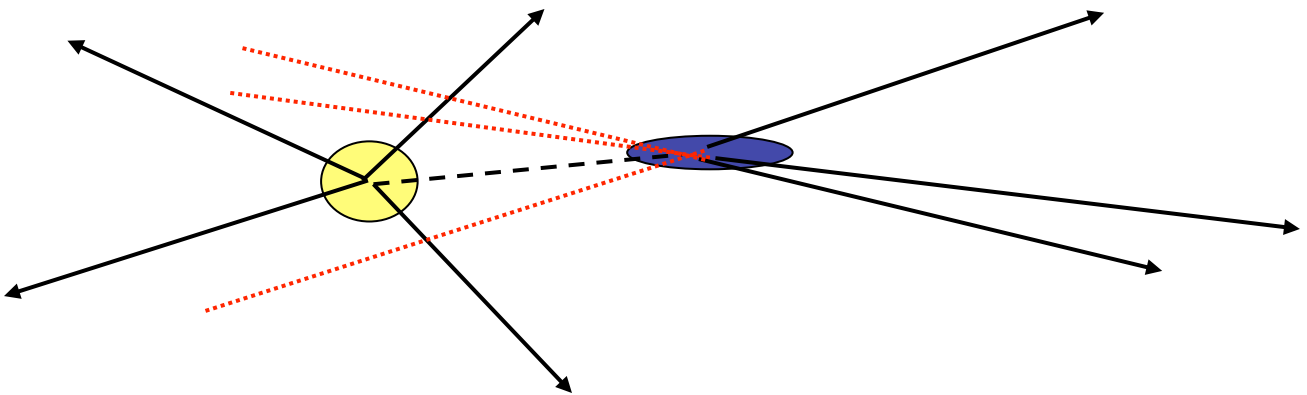
Entrambi i W decadono in adroni:
Difficult

- La maggior parte dei risultati derivano dai canali:

i) due leptoni piu' jet;
ii) un leptone piu' jet.

- Selezione:

- Si cercano i decadimenti leptonici dei W:
 - Leptoni di alto E_T ;
 - Energia trasversa mancante.
- Ri richiedono almeno 3 addizionali jet energetici.
- Almeno uno dei jet e' b-tagged (i.e. contiene un hadrone B).

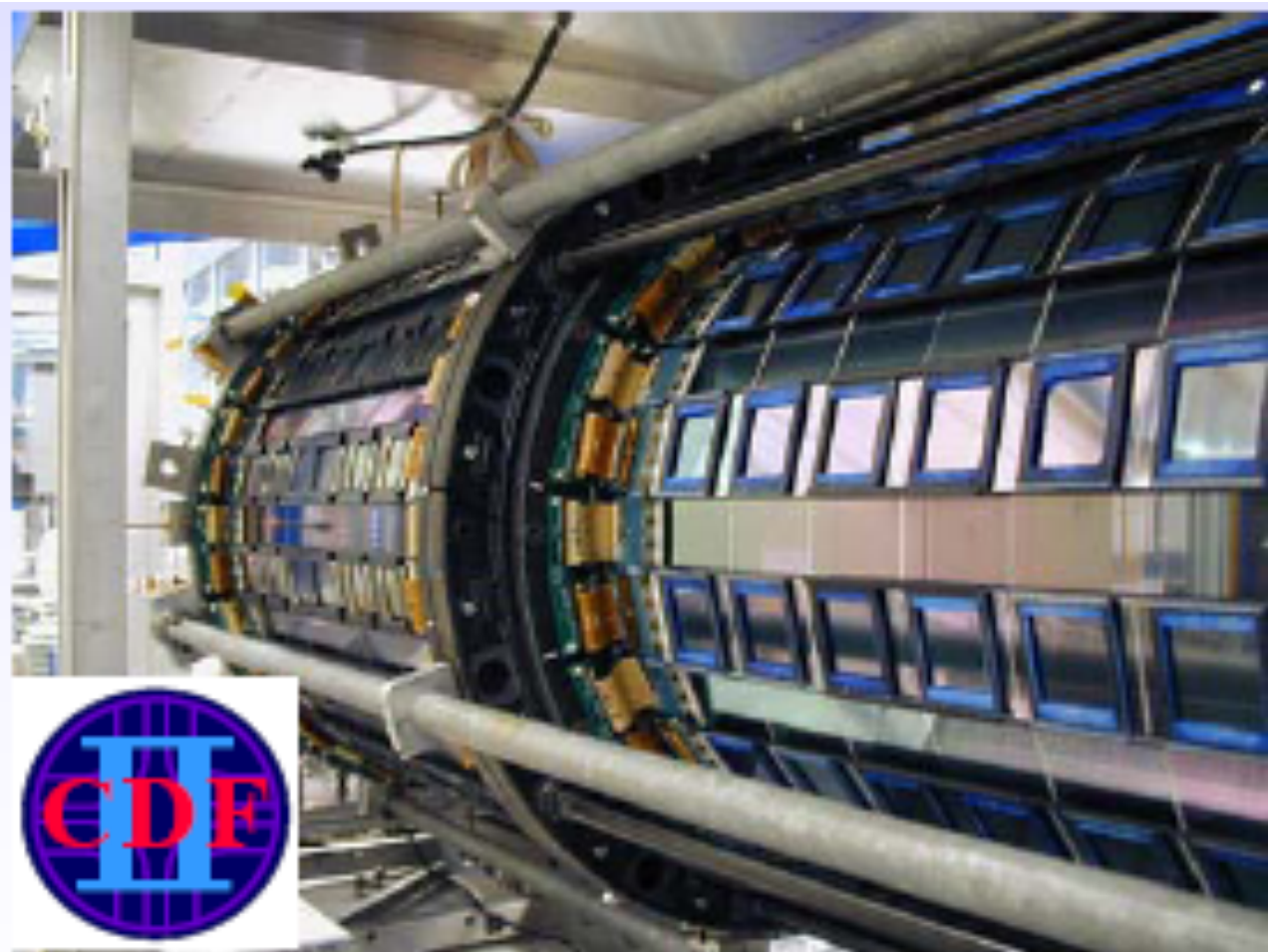


B hadrons dal decadimento del top viaggiano per alcuni mm prima di decadere.

Questi decadimenti con un accurato rivelatore tracciante puo' essere osservato.

Altre tecniche di b-tagging che usano I leptoni danno un rapporto segnale fondo, S/N, molto peggiore.

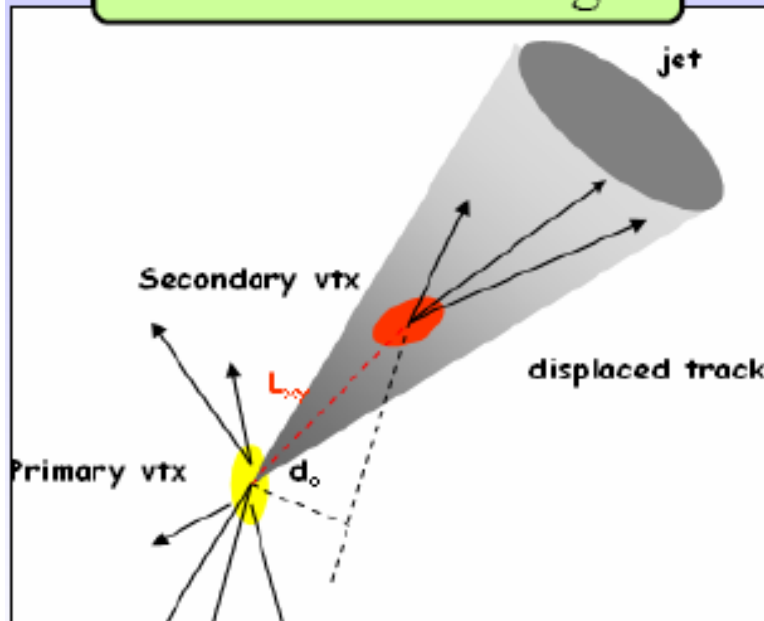
Silicon detectors



Run II: silicon detectors cover a large region of acceptance

Tagging a b-quark

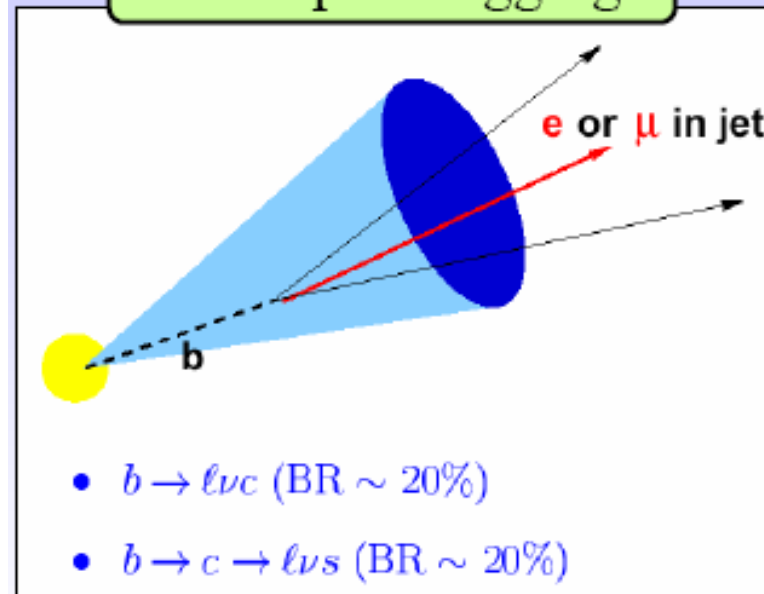
Silicon Vertex tag



B mesons travel ~ 3 mm before decaying:

- Search for secondary vertex

Soft lepton tagging



Search for non-isolated soft lepton in a jet

Il Tagging del quark b

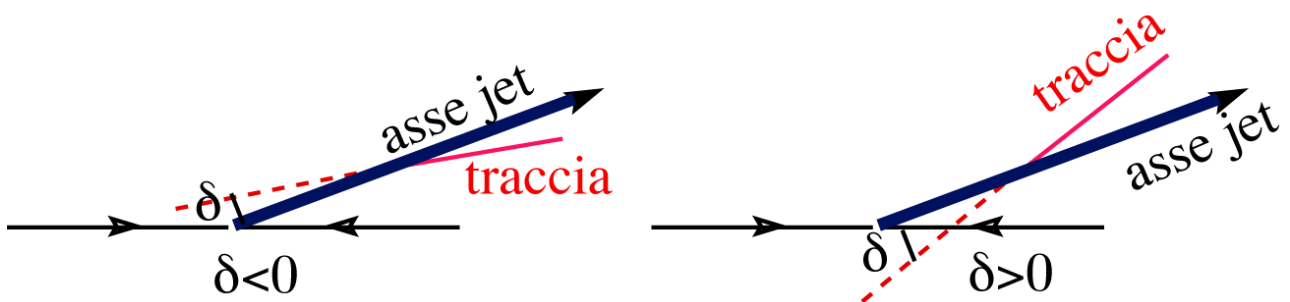
Tutti i quark vengono osservati come jet di adroni.

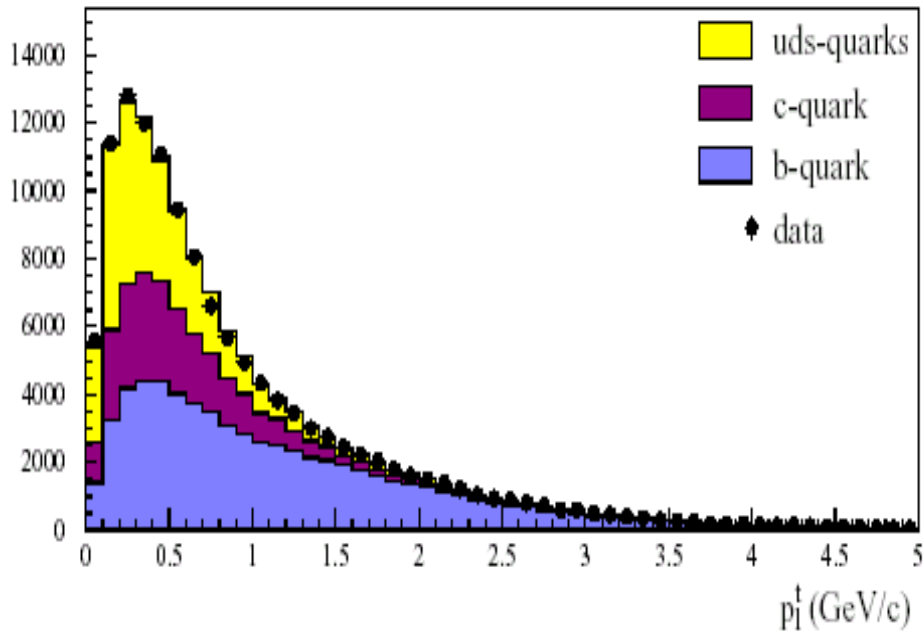
Come distinguerne il sapore?

Per il b è possibile (anche per il c) (**b -tagging**) perché:

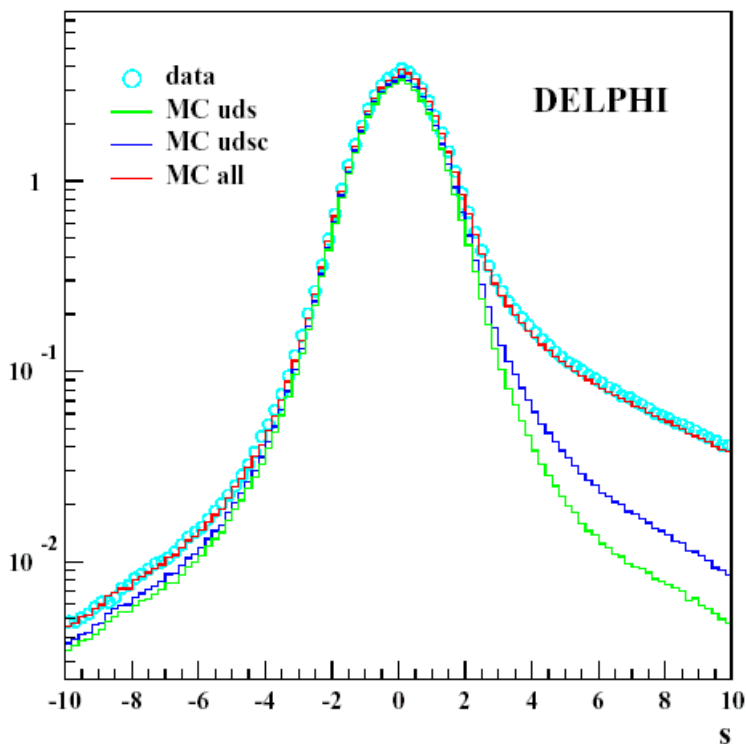
- 1) la massa del b è più grande di tutti gli altri, $m_b \approx 5 \text{ GeV}$
momento trasversale al jet p_T più grande
- 2) la vita media è relativamente lunga (1 ps)
vertici secondari rivelabili con i microvertici ($\gamma \approx 7$)
- 3) “parametri d’impatto” abbastanza grandi

p_T del leptone dal decadimento del q rispetto all’asse del jet





Impact parameter significance



Si aggiustano i “tagli” sulle variabili cinematiche ottenendo tipicamente efficienza $\approx 40\%$, reiezione ≈ 500

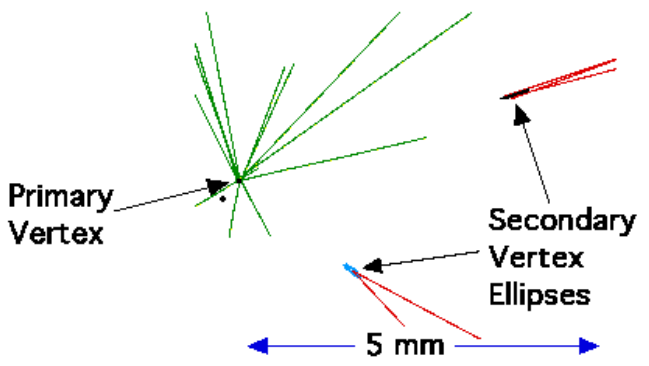
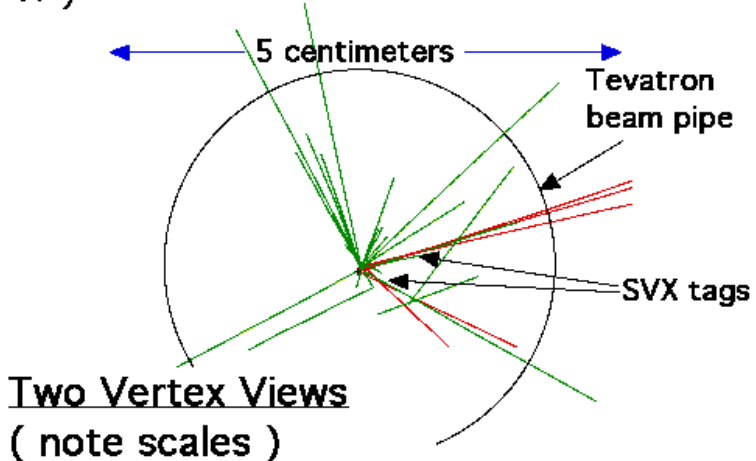
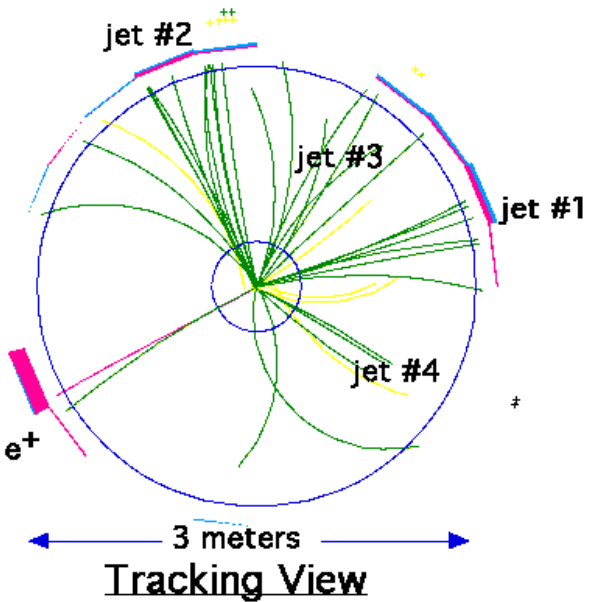
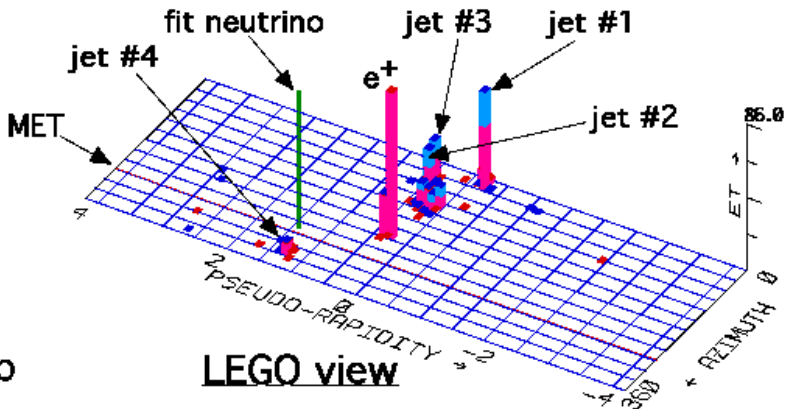
• Un candidato $t \bar{t}$ -bar

$e + 4$ jet event

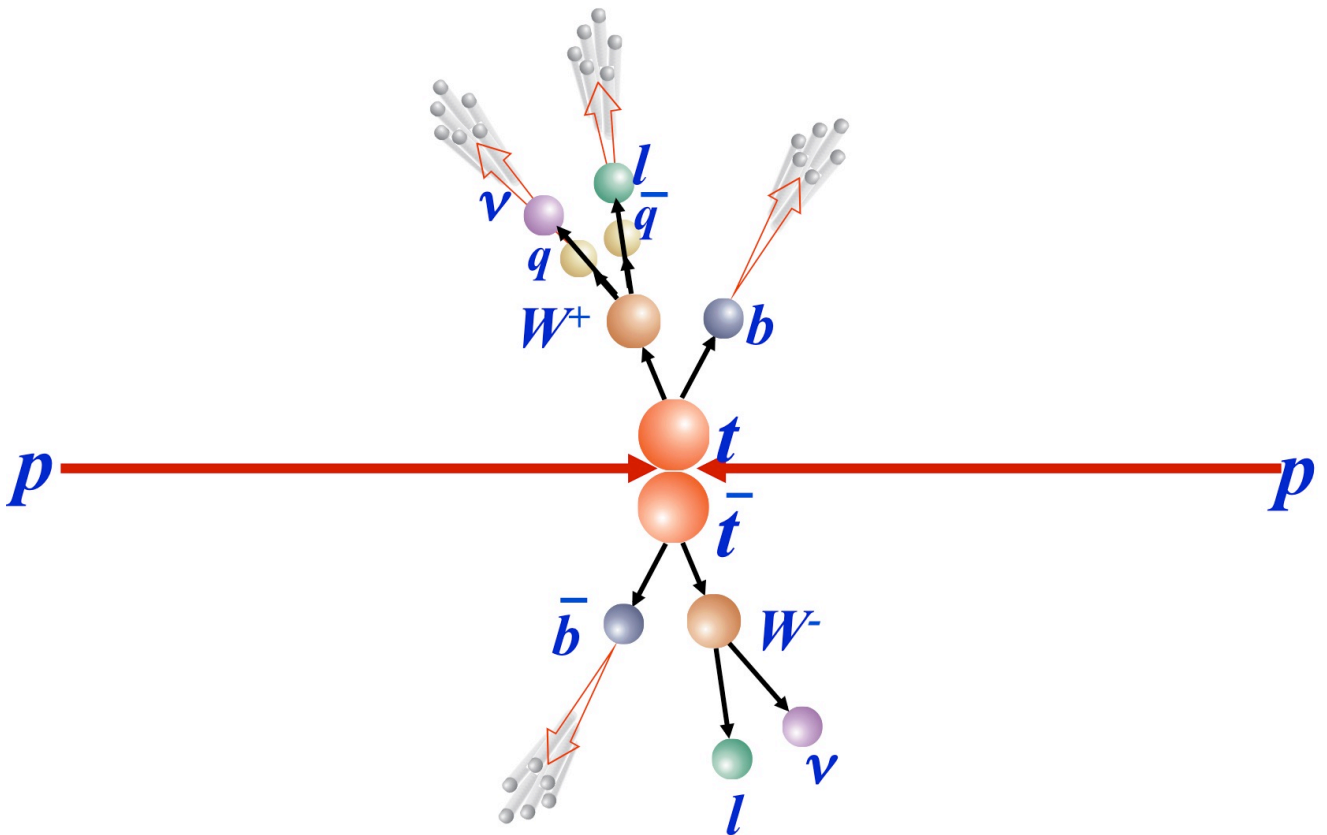
40758_44414
24-September, 1992

TWO jets tagged by SVX
fit top mass is 170 ± 10 GeV

e^+ , Missing E_T , jet #4 from top
jets 1,2,3 from top (2&3 from W)



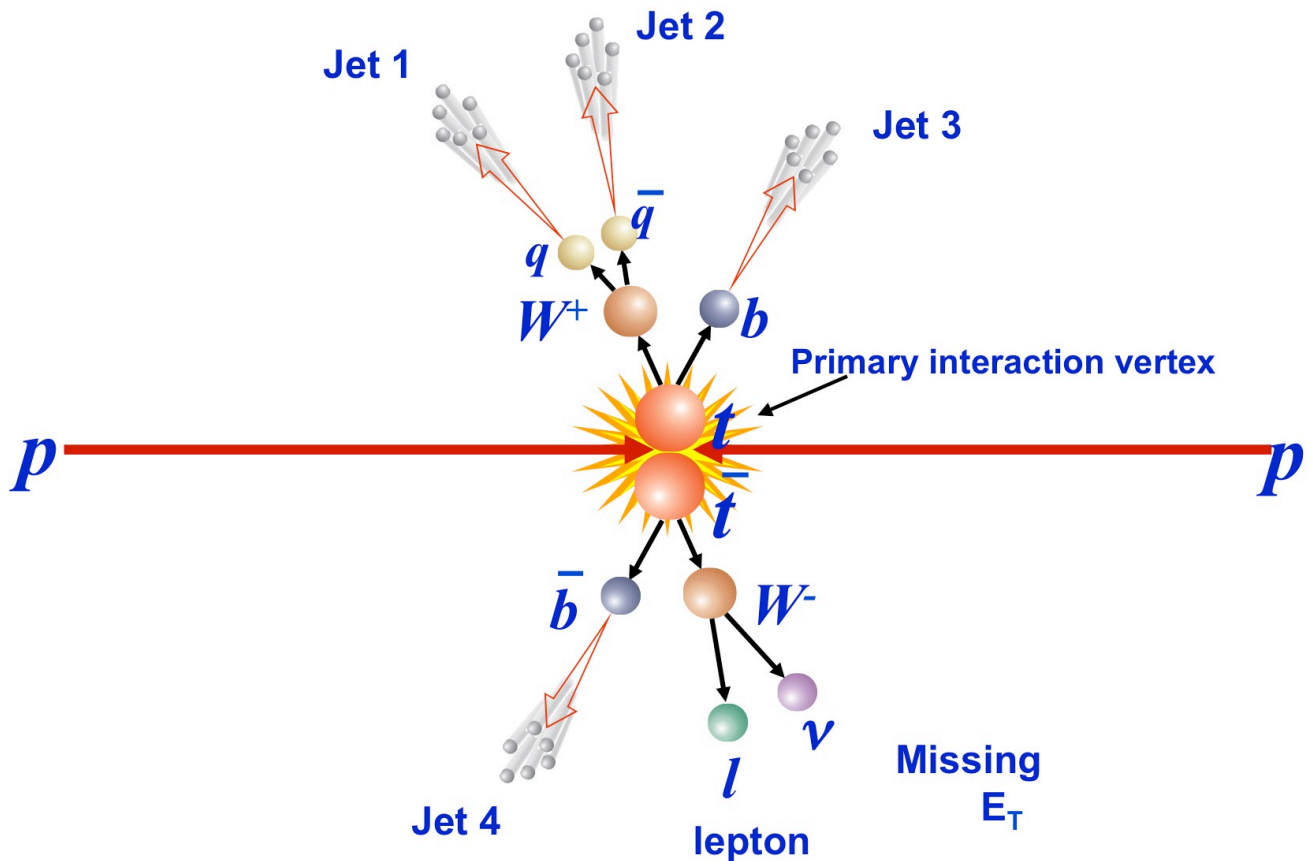
Top Mass: the channels



Lepton + jets

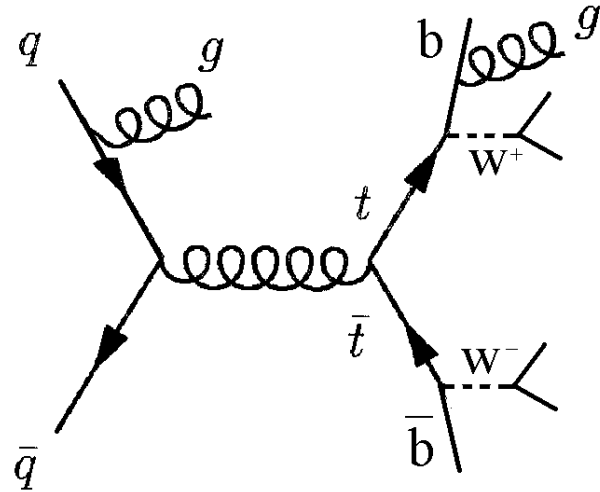
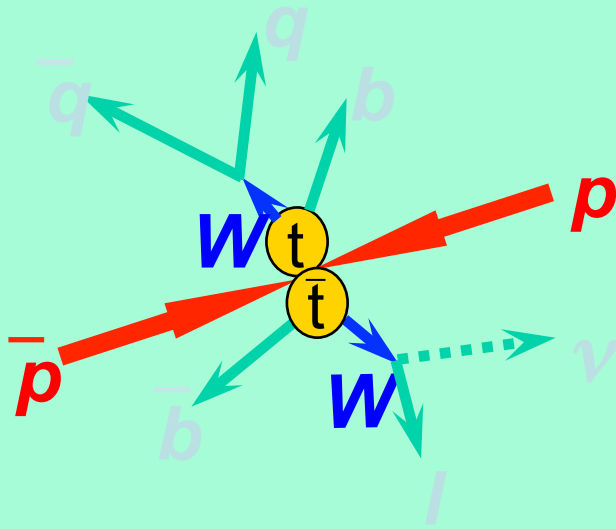
- Reasonable branching fraction
- Medium bkg levels:
 - W +jets
 - QCD multijet
- Benefits from in-situ jet energy calibration using hadronic W
- Has traditionally yielded the best results

Top Mass: the challenge



- In general, don't know which jet comes from which parton
- In the l +jets case e.g., detector sees 4 jets, a lepton, missing E_T , and an interaction vertex
- No displaced vertices to isolate signal from background
- Must try all permutations
- No clean and sharp mass peaks

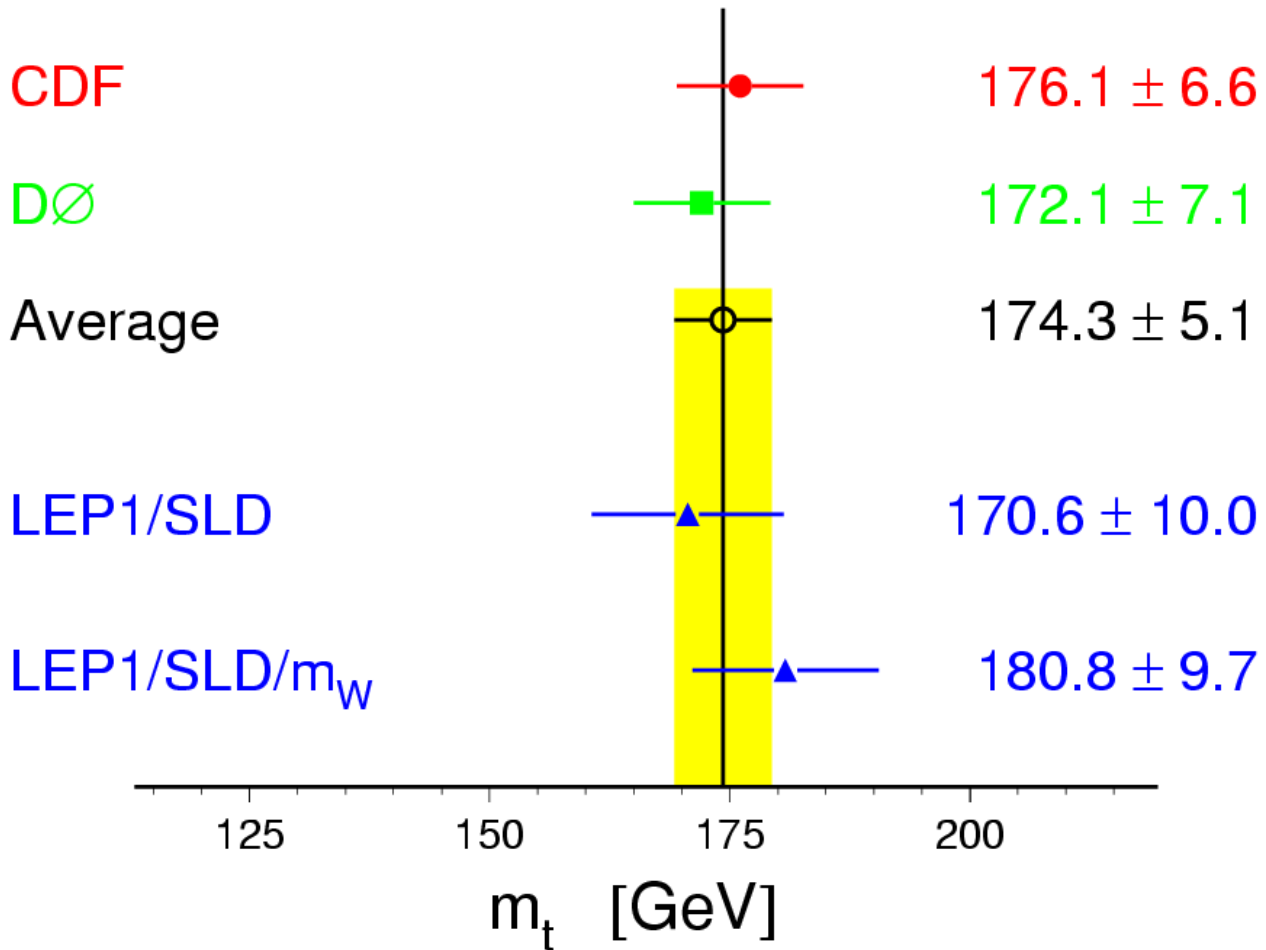
$$t\bar{t} \rightarrow l\nu b q\bar{q}b$$



- Measuring the top mass
 - Use lepton+jet sample
 - All kinematics known, but:
 - P_z^ν
 - 3 constraints:
 - $M(l\nu) = M(qq) = M_W$
 - $M(l\nu b) = M(qqb)$
 - **2C kinematic fit**
 - Combinatoric ambiguity
 - 2 combination if double b-tag
 - 6 combination if single b-tag
 - Gluon radiation can give extra jets!
 - MC to check/correct for systematic effects

• La massa del top e le misure di precisione

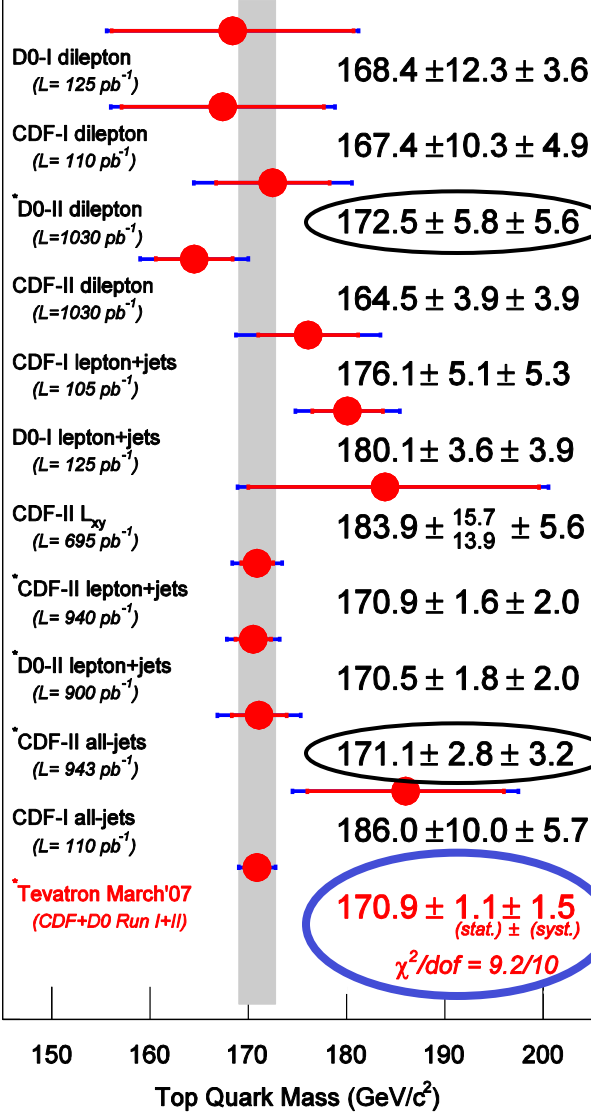
Top-Quark Mass [GeV]



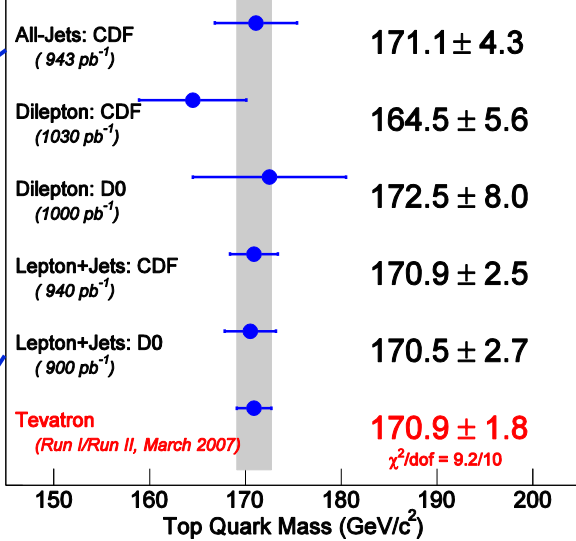
Determinazione indiretta

Massa del Top: Media Mondiale

Tevatron Results (*Preliminary)



Best Tevatron Run II (preliminary, March 2007)



m_{top} oggi e' nota con una incertezza del 1.1% !

170.9 ± 1.1 (stat) ± 1.5 (syst) GeV/c²

Bibliografia

Chi desidera approfondire l'argomento puo' utilizzare:

- i) Appendice 7: Lezioni di Marco Rescigno;**
- ii) le Tesine sul quark top presentate negli A.A. precedenti che si trovano nel sito: [/people/dionisi](#)**

Seconda Parte: Ricerca dell' Higgs a LEP e TEVATRON

Nota Bene: la parte di Teoria sulla rottura spontanea della simmetria, meccanismo di Higgs, fa parte del programma e viene sviluppata nelle pagine 507-524 del Burcham and Jobes. Vedi inoltre i capitoli 13 e 14 di seguito.

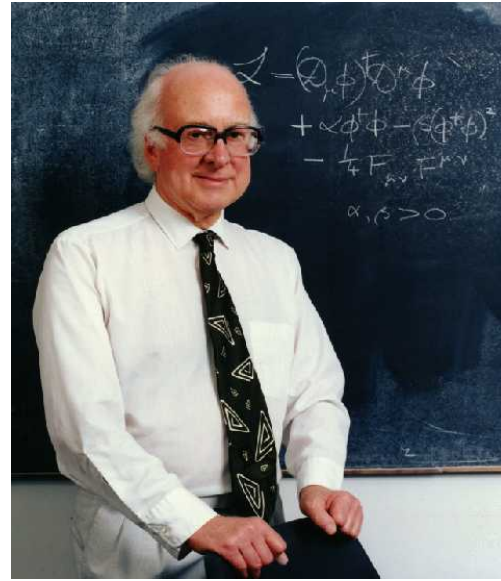
Nel seguito di questo capitolo vengono invece presentate in modo schematico le ricerche del bosone di Higgs a LEP e al Tevatron.

Dettagli su queste ricerche si possono trovare nelle tesine fatte dagli studenti nei vari A.A. e "postate" nel sito : people/dionisi.

Le ricerche e la scoperta a LHC sono discusse nel prossimo capitolo 13.

Higgs search

- ◆ Il bosone di Higgs fino a luglio 2012 e' stato il tassello mancante del Modello Standard.
- ◆ Nel Modello Standard ha il ruolo fondamentale di generare la massa dei bosoni W e Z e dei fermioni.
- ◆ Tuttavia ci sono modelli con meccanismi piu' complessi di quello di Higgs che prevedono una "fisica Nuova" con nuove particelle ancora da scoprire. Vedi il capitolo 15.

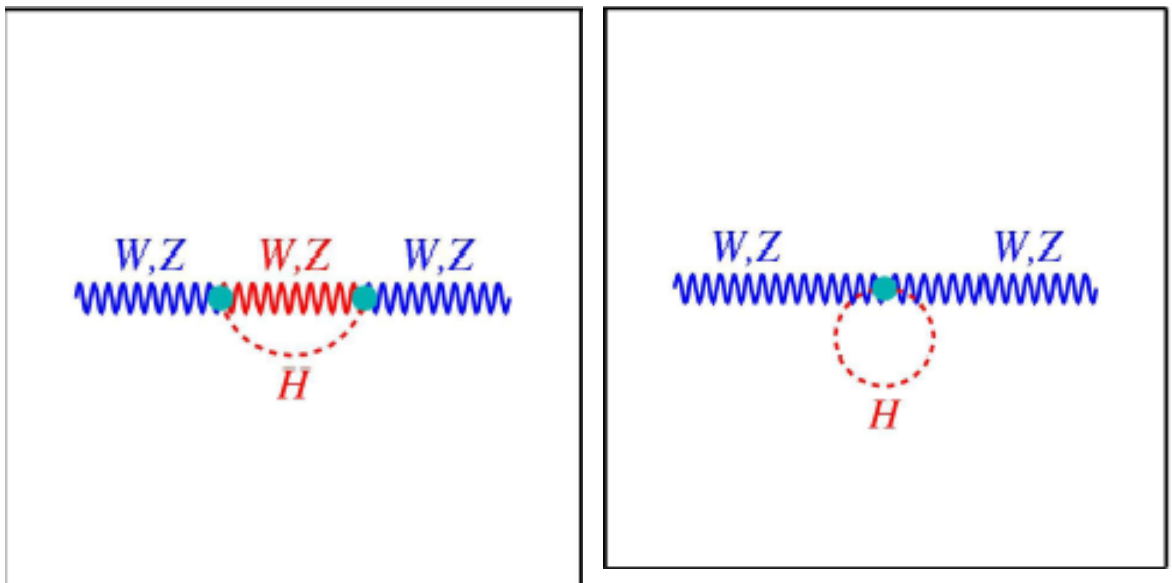


Prof. Peter Higgs

P.W. Higgs, Phys. Lett. 12
(1964) 132

Ricerca Indiretta dell' Higgs

★ Come abbiamo visto, il contributo dei loop dell' Higgs alle correzioni radiative, vedi figure, e' logaritmico; la sensibilita' del fit ai dati delle misure elettrodeboli e' quindi ridotta.



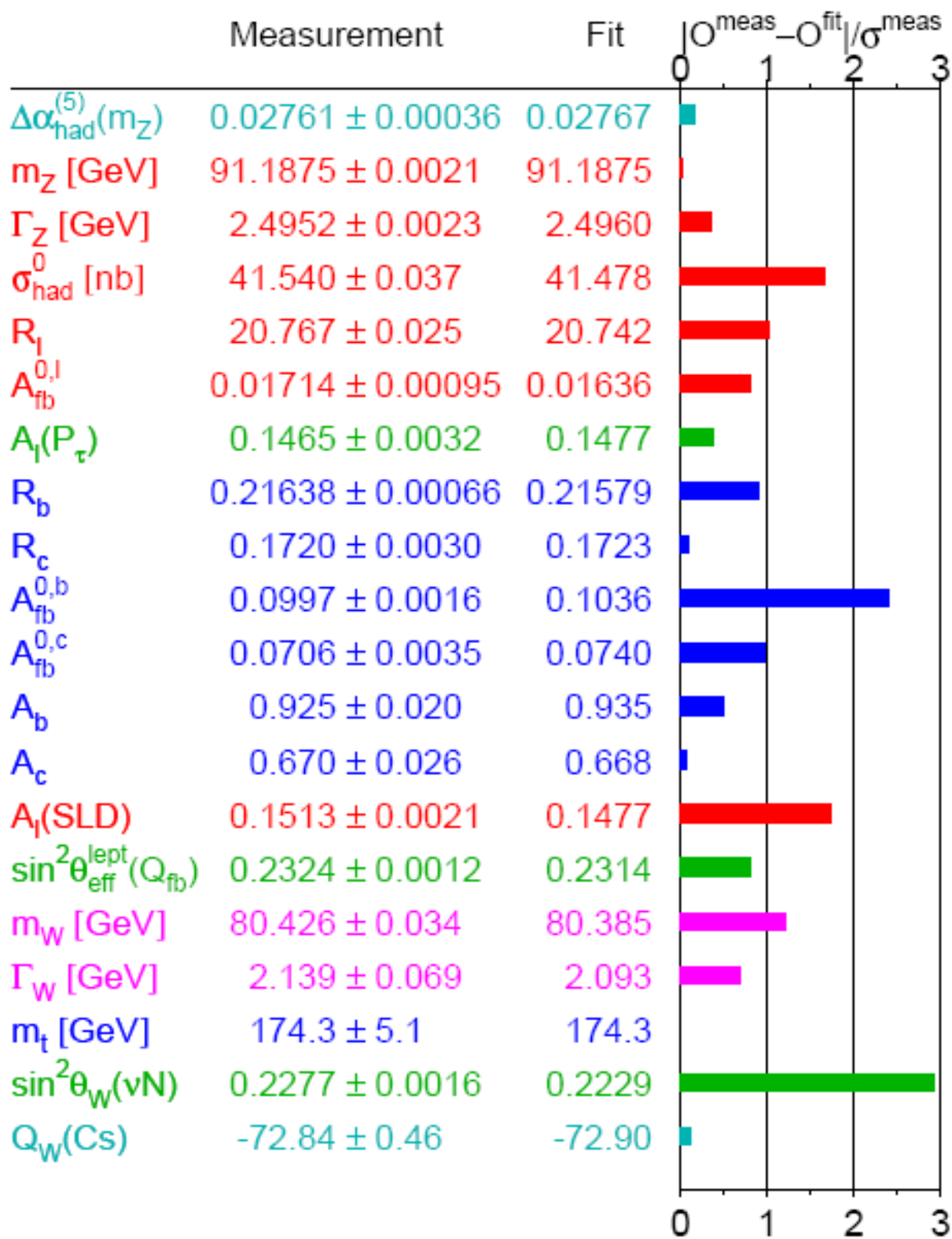
Il limite indiretto combinando I dati elettrodeboli e':

$$M_H < 219 \text{ GeV al } 95 \% \text{ di C.L.}$$

Results of global electroweak fits

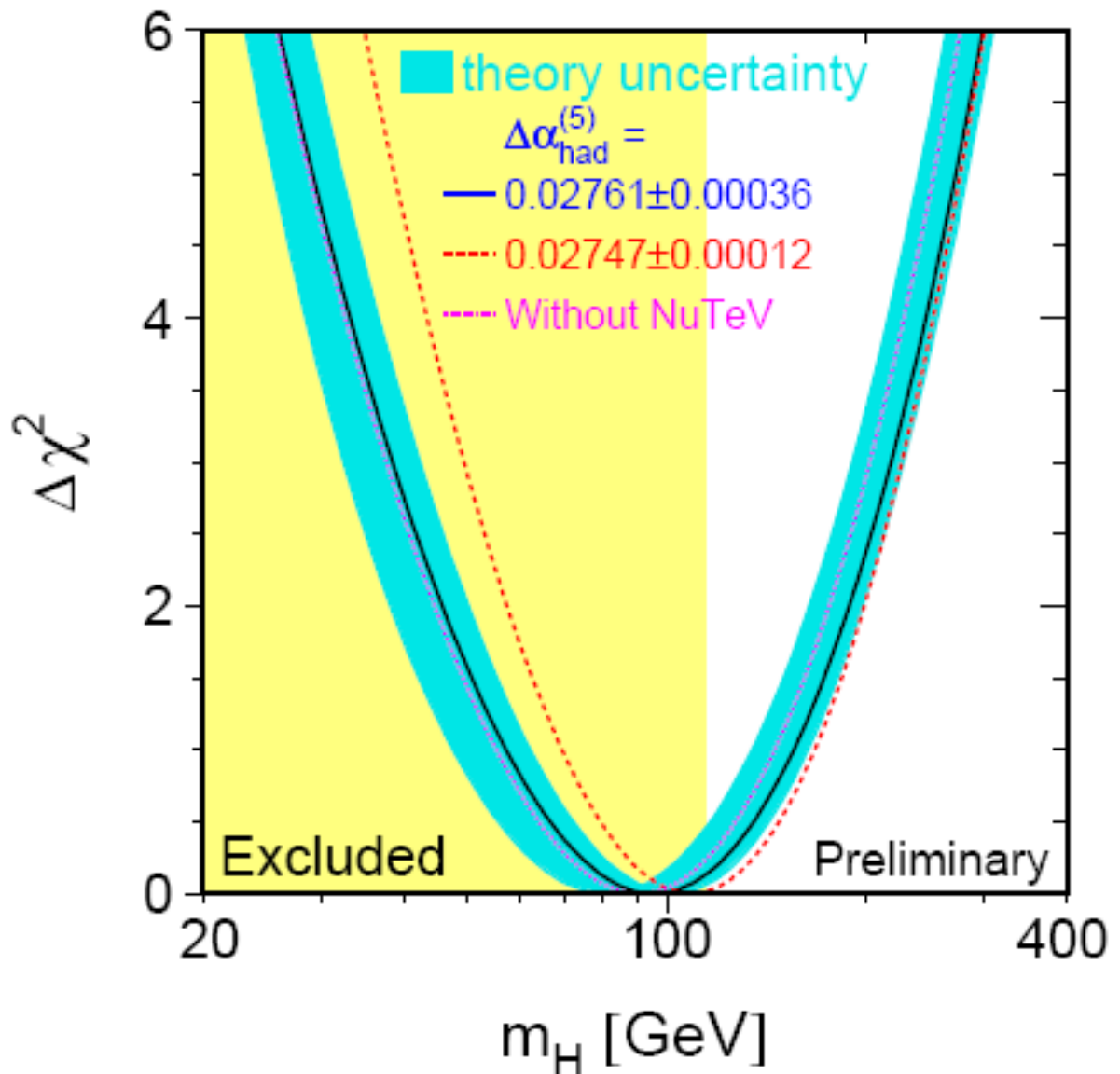
Fit to data from LEP, SLD, Tevatron (M_W, M_t)...

Summer 2003



Standard Model Higgs

Electroweak fits $\Rightarrow M_H < 219$ GeV (95% CL).



Theoretical arguments - self consistency of SM up to scale $\Lambda^{\text{GUT}} \approx 10^{16}$ GeV $\Rightarrow 130 < M_H < 190$ GeV.

M_H higher - theory non-perturbative,

M_H lower - vacuum unstable.

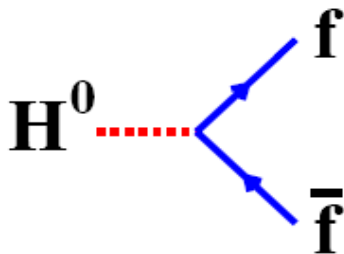
Ricerca Diretta dell' Higgs a LEP

There is one final ingredient to the Standard Model - **the Higgs Boson**.

The Standard Model requires the existence of a new neutral **SCALAR** (i.e. spin-0) particle - the **HIGGS** boson.

Higgs Boson and Mass

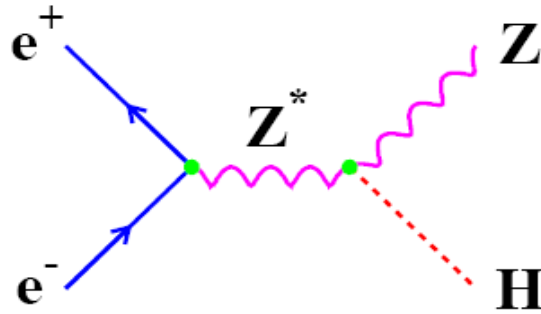
- ★ The Higgs Boson (discovered in 2012) is the particle responsible for the **MASS** of **ALL** particles (including the W^\pm and Z^0).
- ★ The Higgs Field has a non-zero vacuum expectation value, it is a property of the vacuum.
- ★ As particles move through the vacuum they interact with the non-zero Higgs field
- ★ It is this interaction that gives fermions mass
- ★ The strength of the Higgs coupling to fermions is proportional to mass



$$g_{Hff} = (\sqrt{2}G_F)^{\frac{1}{2}} m_f$$

Higgs Production at LEP

IF $m_H < \sqrt{s} - M_{Z^0}$

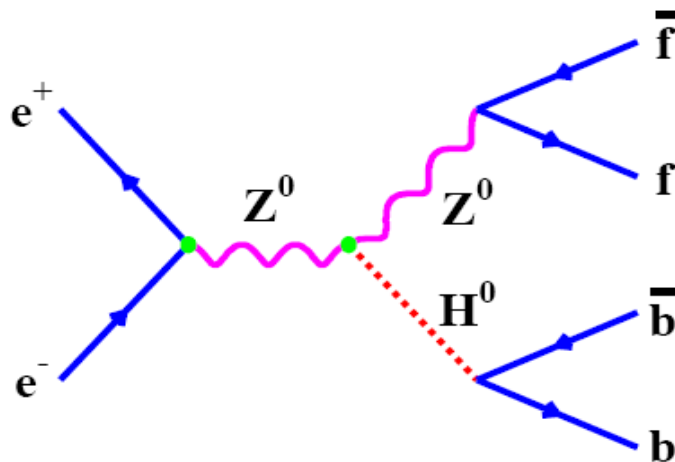


In 2000 LEP operated with $\sqrt{s} \approx 207$ GeV, therefore had the potential to discover the Higgs Boson **IF** $m_H < 116$ GeV

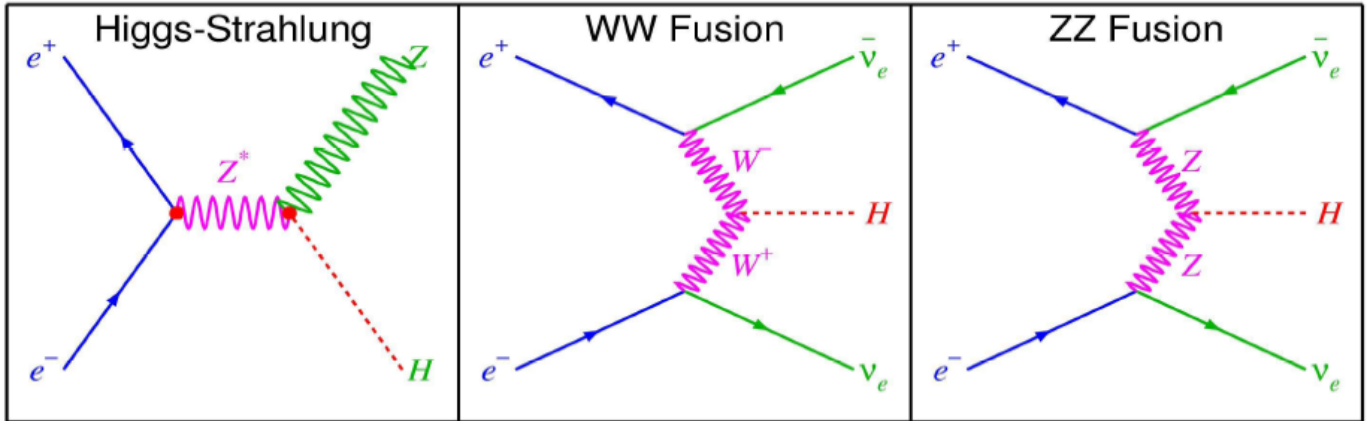
Higgs Decay

- ★ The Higgs boson ‘couples’ to mass.
- ★ Consequently partial widths proportional to m^2 of the particle involved
- ★ The Higgs Boson decays **preferentially** to the most massive particle kinematically allowed (*i.e.* energy conservation)
- ★ For $m_H < 116$ GeV this is the b-quark

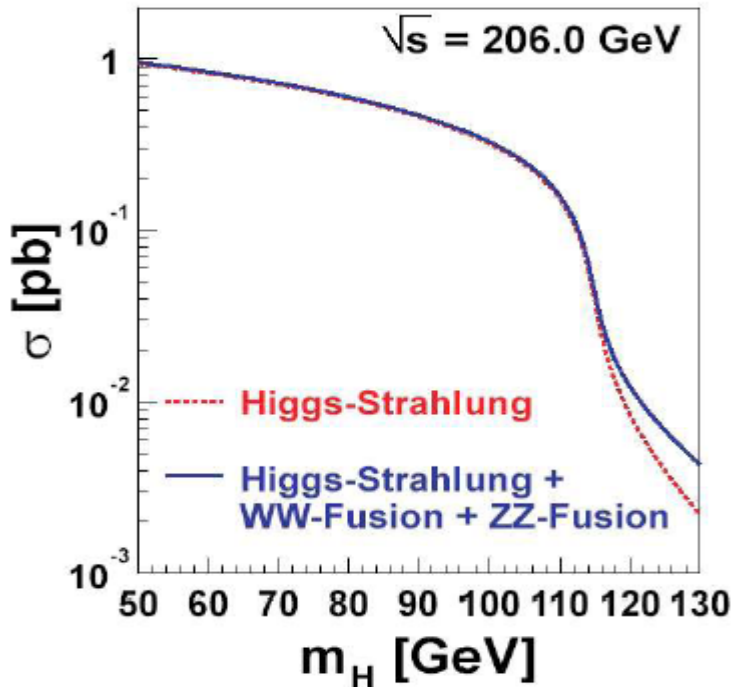
At LEP search for $e^+e^- \rightarrow H^0Z^0 \rightarrow b\bar{b}f\bar{f}$



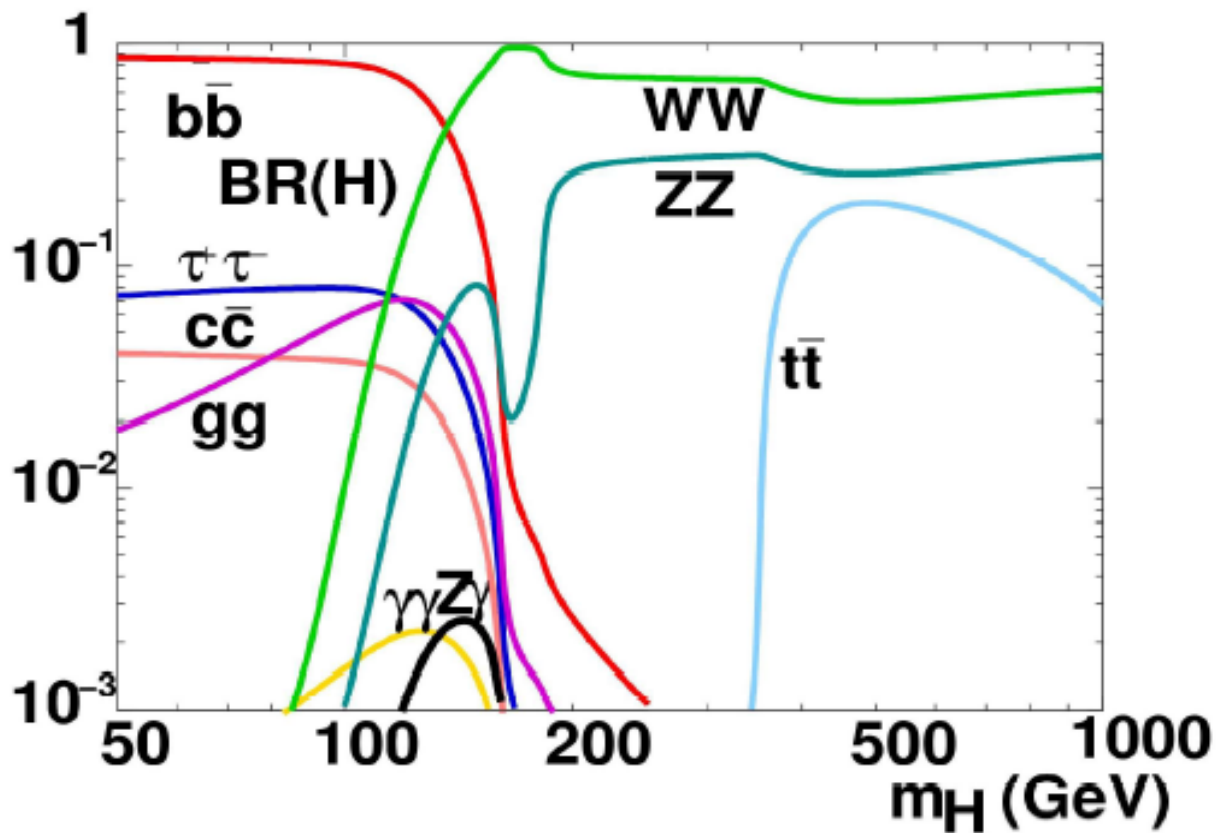
Higgs Production at LEP 2



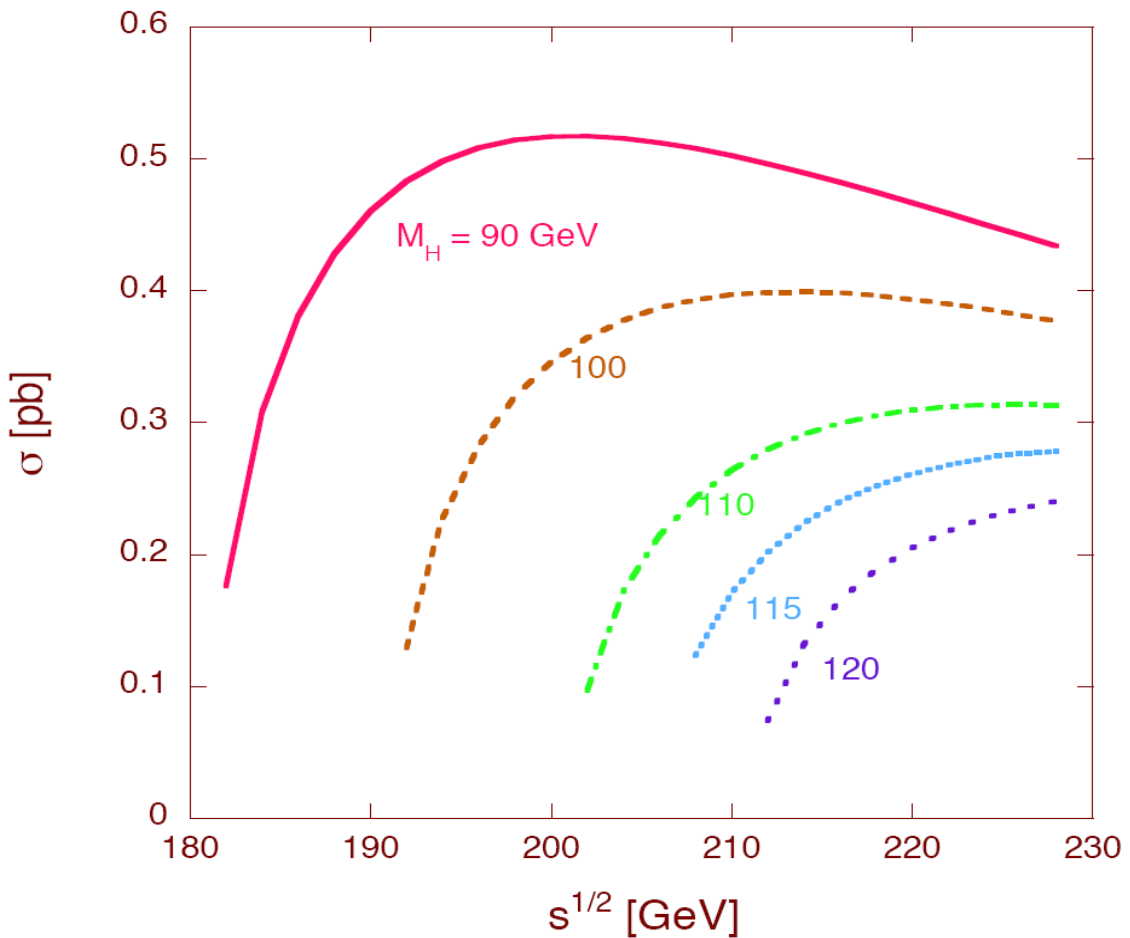
Higgs Production Cross-Section



Higgs Branching Ratios



- **Light Higgs decay:**
 - Higgs si accoppia alle particelle piu' pesanti cinematicamente
 - bb dominant mode up to $M_{\text{Higgs}} \sim 135 \text{ GeV}$
 - Il decadimento in coppie WW sopra questo valore diventa il meccanismo dominante



+ important effect of ISR

LEP 2: sensitive nearly to kinematical limit

$$M_H^{\max} = \sqrt{s} - M_Z$$

LC: sensitive for $M_H \lesssim 0.7\sqrt{s}$

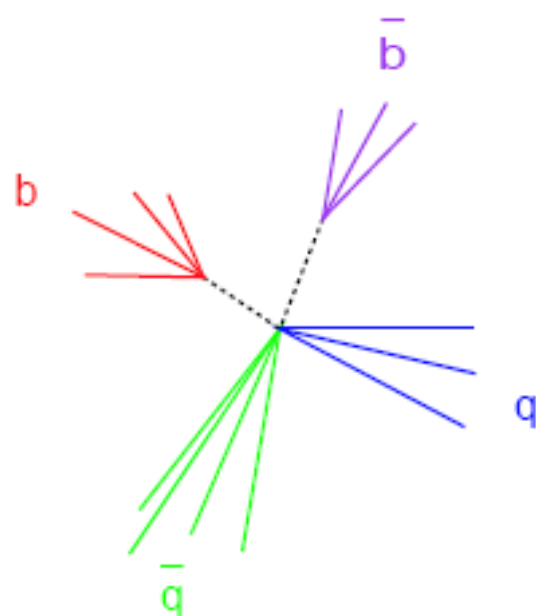
& measure excitation curve to determine

$$\delta M_H \approx 60 \text{ MeV} \sqrt{100 \text{ fb}^{-1} / \mathcal{L}} \text{ for } M_H = 100 \text{ GeV}$$

HZ search topologies

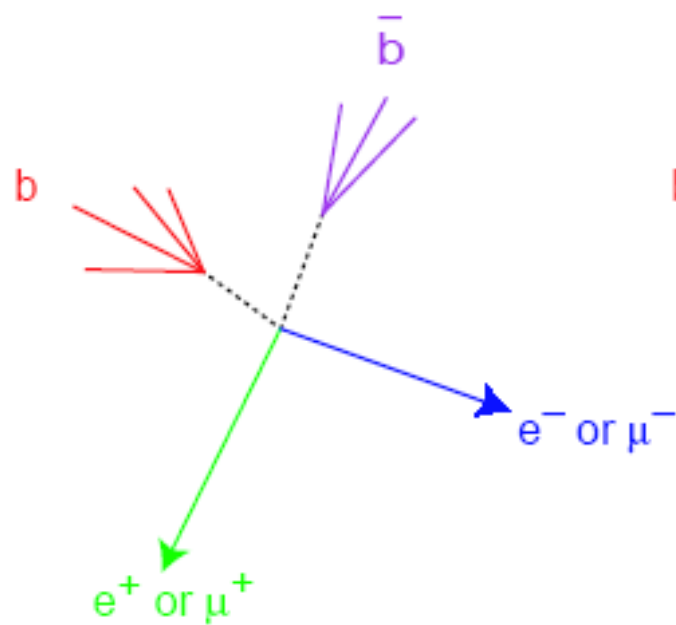
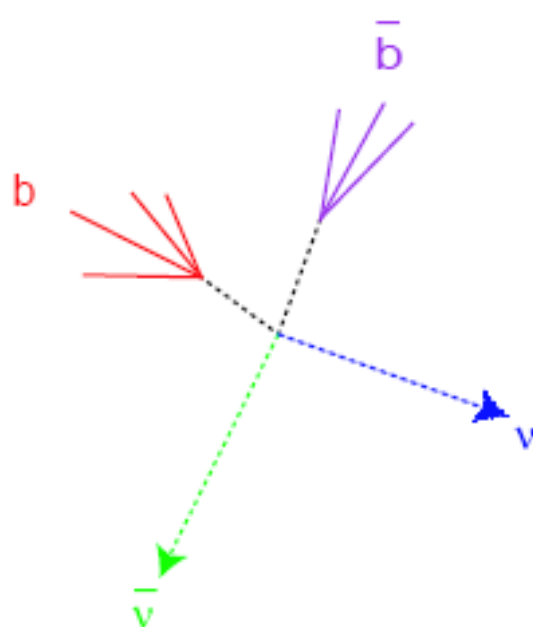
Four jets, 60%

$H \rightarrow b\bar{b}$, $Z \rightarrow q\bar{q}$



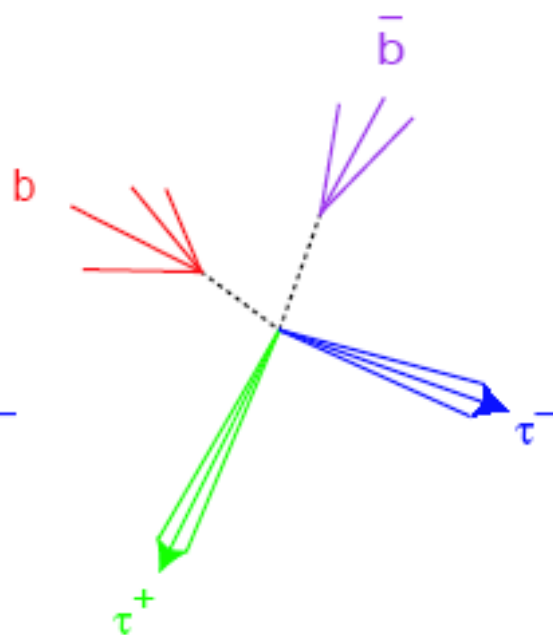
Missing energy, 18%

$H \rightarrow b\bar{b}$, $Z \rightarrow \nu\bar{\nu}$



Leptonic, 6%

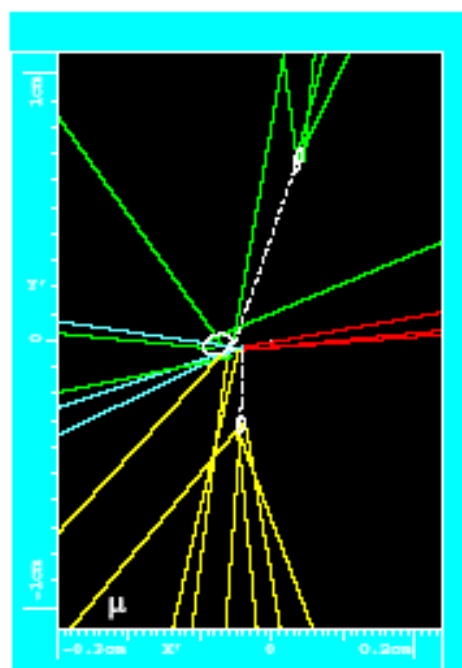
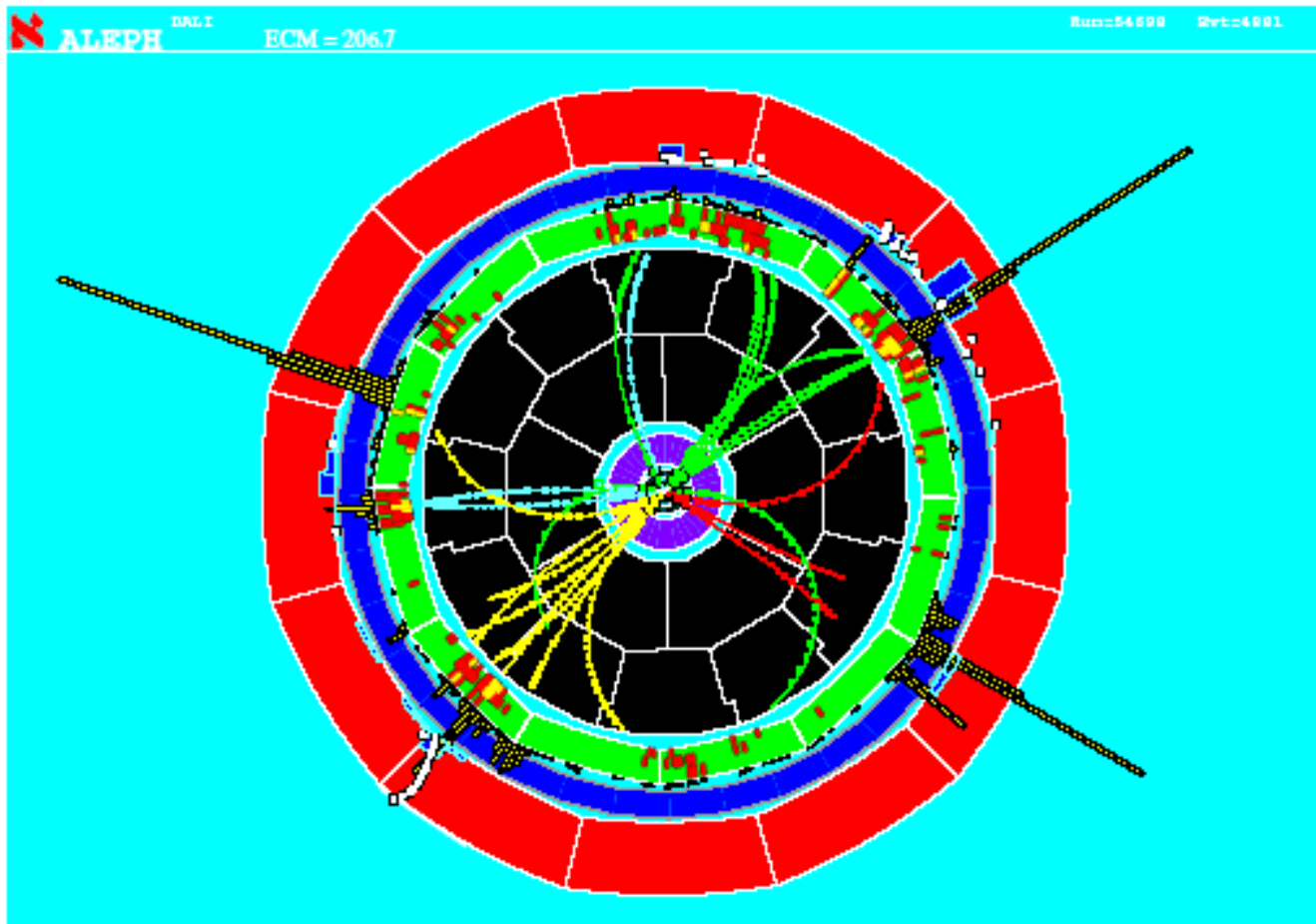
$H \rightarrow b\bar{b}$, $Z \rightarrow \ell^+\ell^-$



Tau channels, 9%

$H \rightarrow b\bar{b}(\tau^+\tau^-)$, $Z \rightarrow \tau^+\tau^-(q\bar{q})$

ALEPH Higgs Event



The Evidence....

4 Possible $e^+e^- \rightarrow Z^0H^0$ events observed in the final year of LEP operation. e.g.

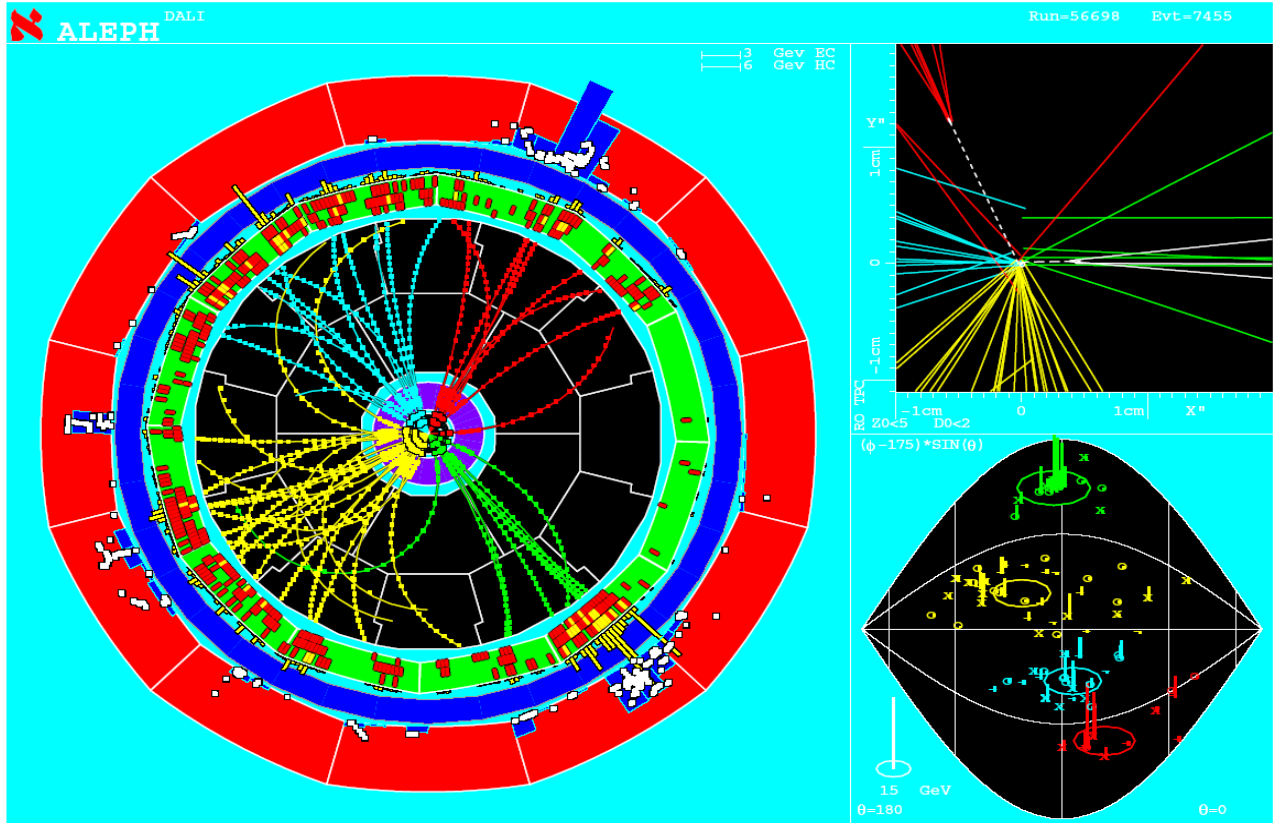
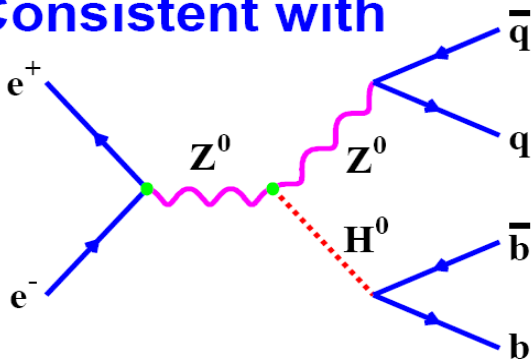


Image on: 04-Aug-2000 17:47:02 by konstant with UAL1_P1.
Filename: DC056698_007455_000830_1723.PS

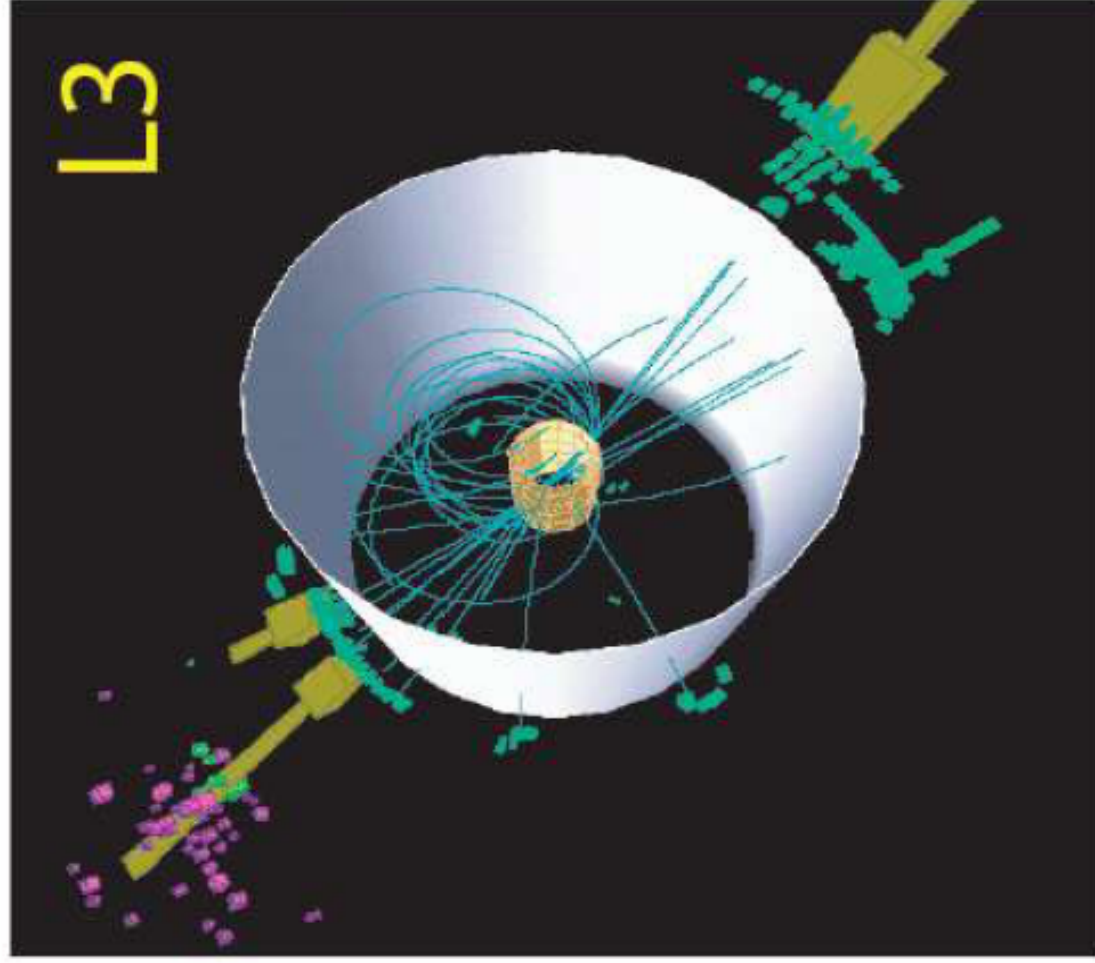
Consistent with



$$m_{H^0} = 115 \text{ GeV}$$

- ★ The evidence is tantalizing BUT FAR FROM conclusive
- ★ LEP operation ended in October 2000
- ★ WAIT another 3+ years for LEP's successor at CERN - the Large Hadron Collider (LHC).

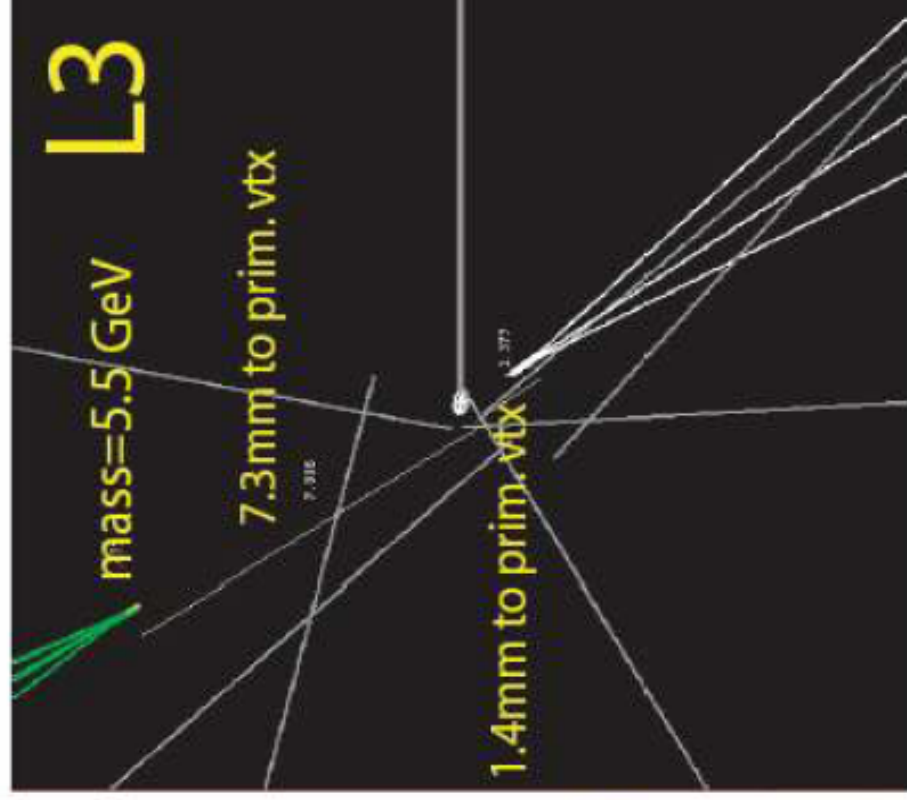
most significant $H_{\nu\nu}$ candidate



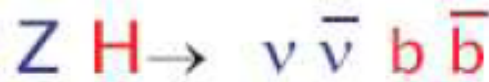
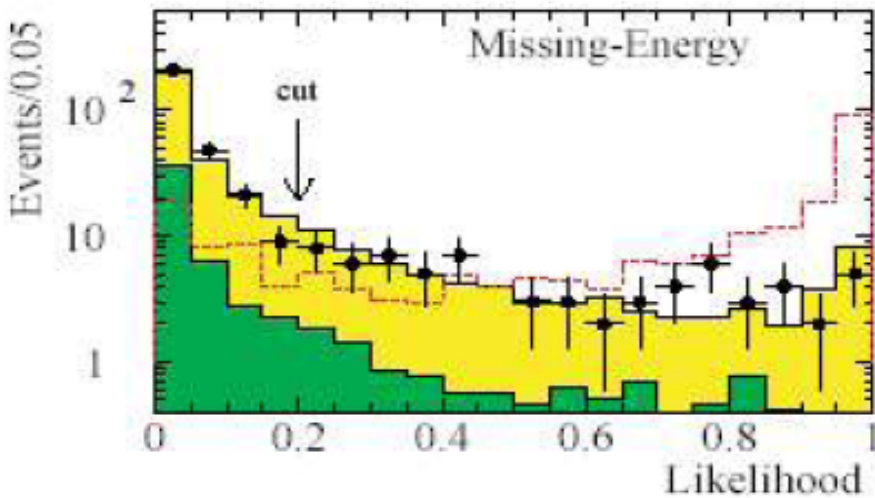
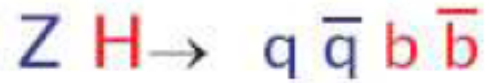
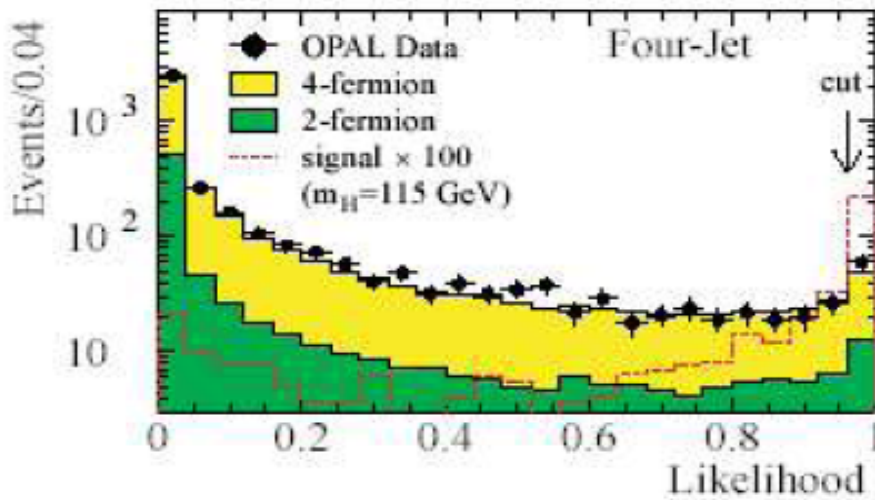
measured H mass = 114.4 GeV

H mass resolution ~ 3 GeV

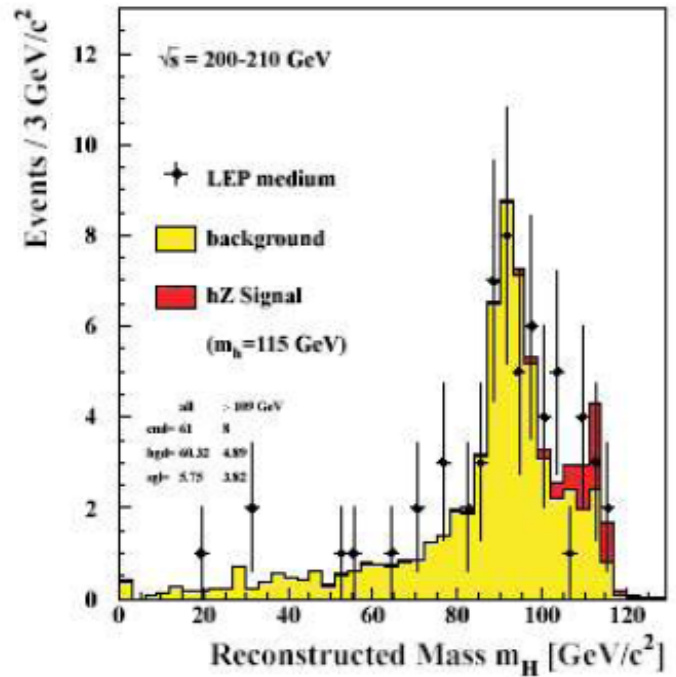
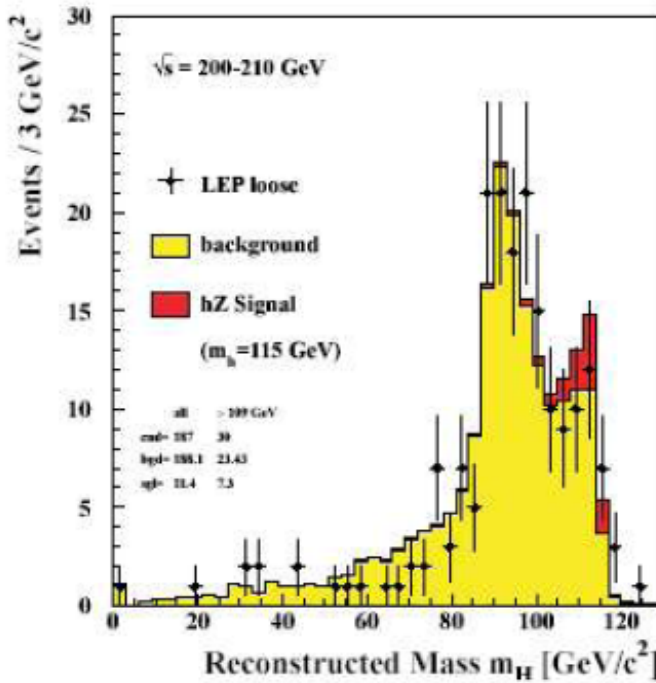
Secondary vtx's view



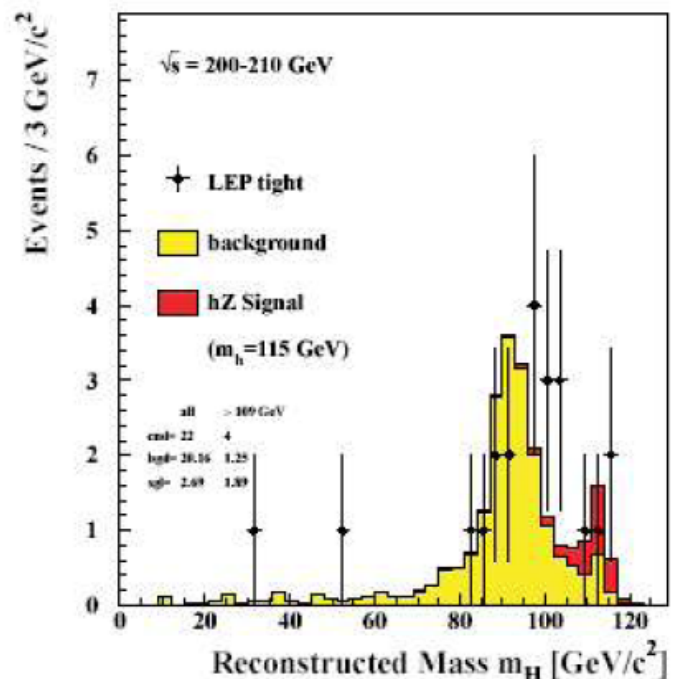
Strategia per l'analisi dell' Higgs



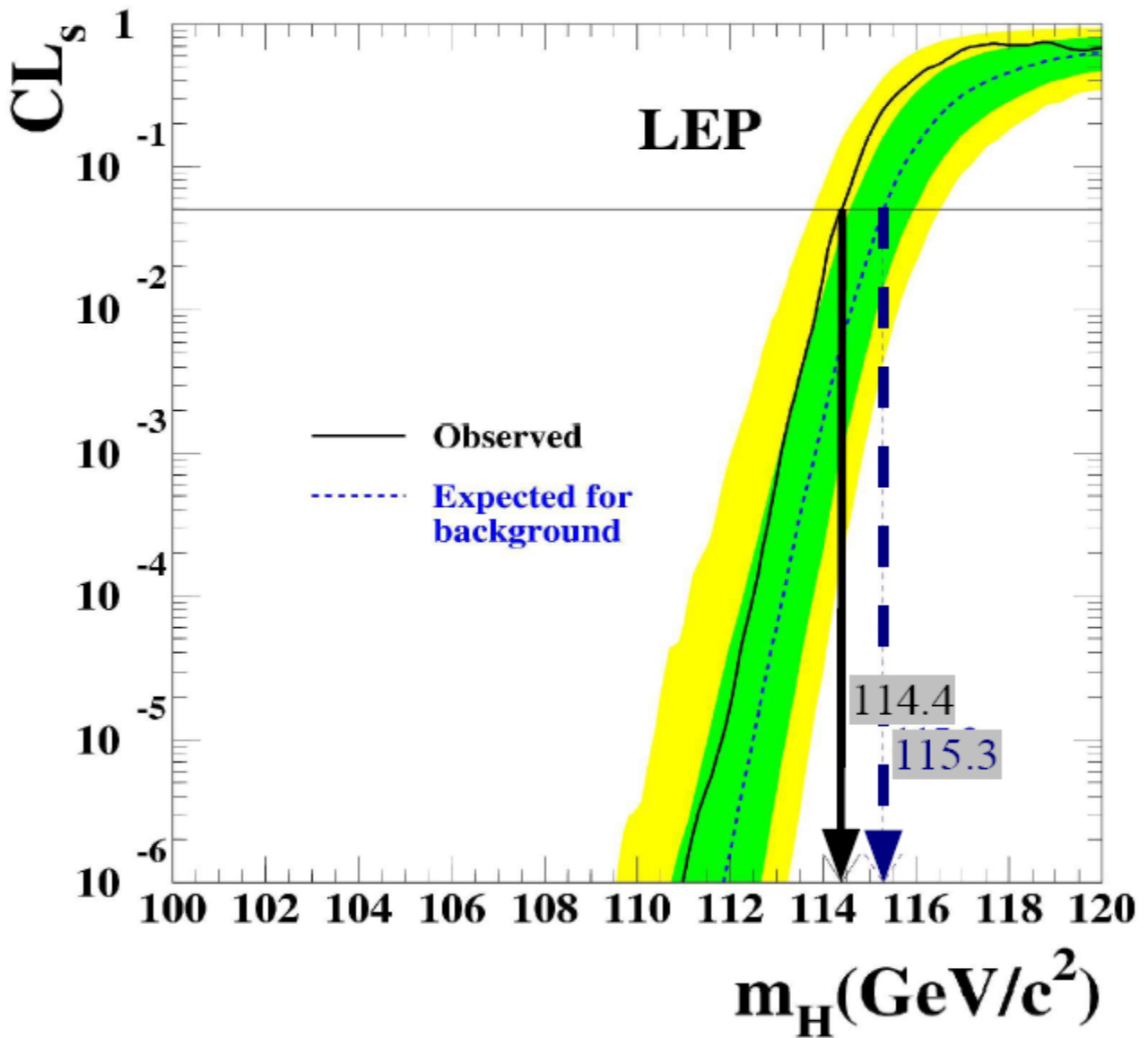
Higgs Mass Spectra



Tagli piu' stretti
aumentano la purezza
del campione ma si
pagano in statistica.



Higgs Limit

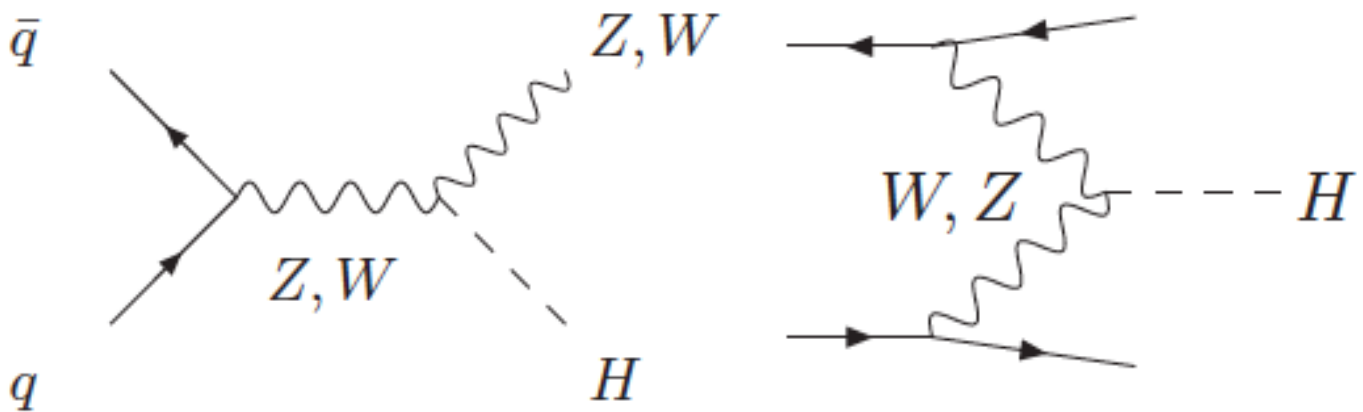


Limiti sulla Massa dell' Higgs da LEP

❖ Fit ai dati di precisione elettrodeboli

$$M_H = 89_{-26}^{+35} \text{ GeV}, M_H \lesssim 185 \text{ GeV @ 95\% CL}$$

❖ Ricerche Dirette

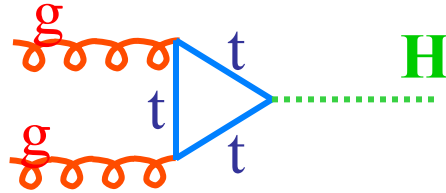


$$M_H > 114.4 \text{ GeV @ 95\% CL}$$

Higgs al Tevatron

- Light (100 – 200 GeV) Higgs production:
 - Higgs couplings prefer higher masses
 - Main production mechanisms:
 - Virtual top quark loops

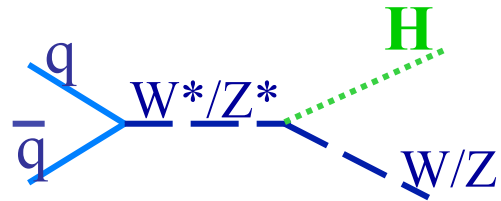
$$\sigma \sim 1.0 - 0.1 \text{ pb}$$



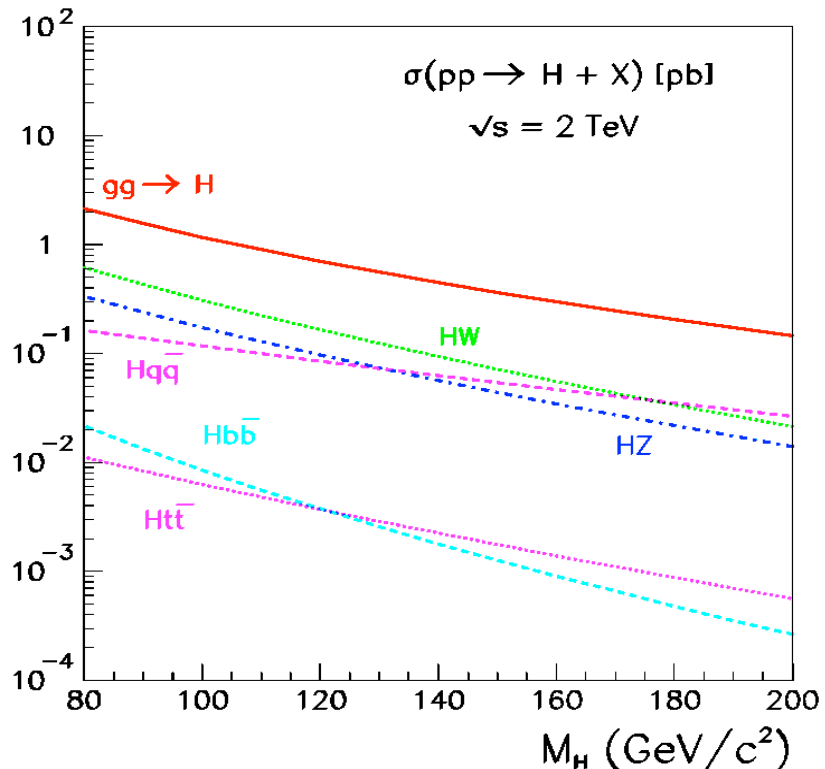
- Associated W/Z production

$$\sigma \sim 0.5 - 0.02 \text{ pb}$$

$$\sigma_W \sim 2 \times \sigma_Z$$



Cfr. Top quark $\sigma \sim 5 \text{ pb}$



Tevatron

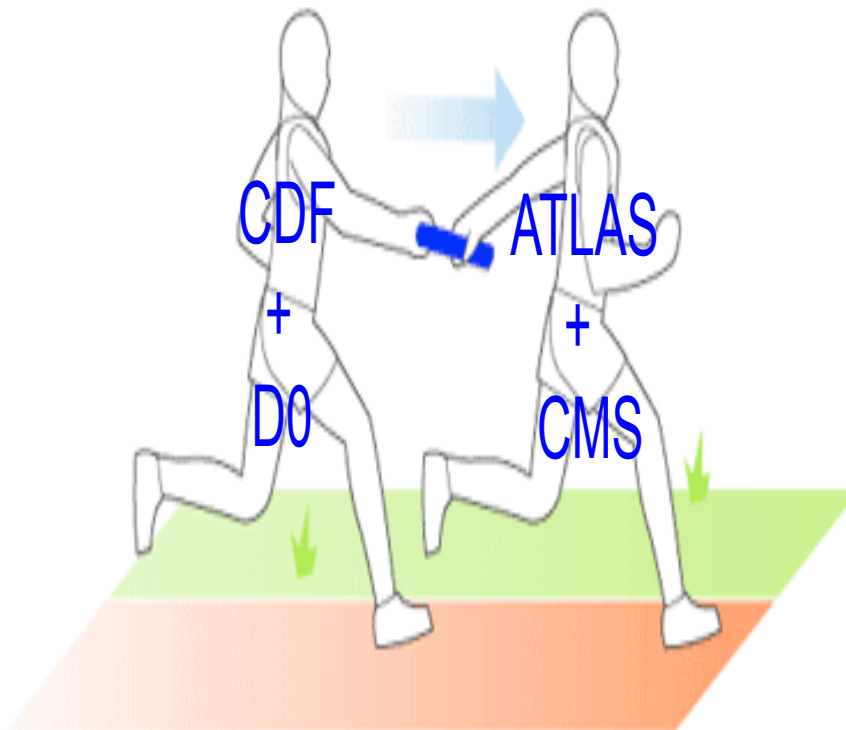
Ricerca dell' Higgs

- ❖ CDF e D0 hanno preso dati al Tevatron fino al 30 settembre 2011
- ❖ i dati raccolti sono $\approx 10 \text{ fb}^{-1}$ per entrambi gli esperimenti
- ❖ nel canale $H \rightarrow b\bar{b}$ si e' trovata una evidenza di segnale di ≈ 3 sigma a 125 GeV

The Higgs Relay Race



The Tevatron "Baton"



Bibliografia

Appendice 9: Pippa Wells The Higgs saga at LEP

Burcham and Jobes: pagine 507-524

Vedi inoltre il capitolo 13 che segue